

Министерство образования и науки Российской Федерации
Федеральное агентство по образованию
Федеральное государственное бюджетное образовательное учреждение высшего
образования «Санкт-Петербургский государственный университет»
Физический факультет
Кафедра вычислительной физики

Дипломная работа

Гусаров Дмитрий Сергеевич

«Квантово-механические методы исследования состояний молекулярного
иона водорода»

Научный руководитель:

д.ф.-м.н., доц. Е. А. Яревский

Рецензент:

к.ф.-м.н., доц. Г. В. Филиппенко

Санкт-Петербург

2018

Оглавление

Введение	3
Глава 1. Задача двух кулоновских центров	5
1.1. Угловые кулоновские сфероидальные функции	6
1.2. Радиальные кулоновские сфероидальные функции	9
1.3. Алгоритм	10
1.4. Результаты	11
Глава 2. Адиабатическое разложение волновой функции	18
2.1. Нахождение колебательного спектра для основного электронного состояния	20
Глава 3. Решение задачи методом конечных элементов	24
3.1. Вариационная формулировка	26
3.2. Результаты вычислений	27
Заключение	31
Список литературы	32
Приложение А. Алгоритм задачи двух центров	34
Приложение Б. Фрагменты кода для вычисления функций $C(R)$ и $H(R)$	43

Введение

С самого начала развития квантовой механики молекулярный ион водорода H_2^+ изучался очень подробно, потому что это простейшая молекулярная система, состоящая только из одного электрона и двух одинаковых ядер. Несмотря на эту кажущуюся простоту, теоретическое исследование H_2^+ являлось достаточно трудной проблемой, поскольку это типичная трёхчастичная кулоновская система.

В 20-х годах успешно разрабатывались методы решения упрощённой задачи, когда система состоит из двух неподвижных ядер и движущегося электрона [1] [2]. В это время обнаружили, что для такой системы уравнение Шрёдингера допускает разделение переменных в сферических координатах и позволяет вычислить электронную энергию точно. Это позволило применять адиабатическое приближение к трёхчастичной системе, а также продвинуться в использовании вариационных приёмов. С развитием первых ЭВМ (60-е годы) начинаются активные расчёты спектра этой системы. В это время применяются как адиабатические, так и вариационные методы. Типичная схема адиабатического метода в это время [3]: Расчёт решений задачи двух кулоновских центров вариационным методом [1], аналитический расчёт адиабатических поправок, и, наконец, решение дифференциального уравнения второго порядка интегрированием. Также появились неадиабатические методы [4].

С последующим развитием ЭВМ расчёты улучшали свою точность, а методы становились изощрённее. Методы, применяемые в последнее время: вариационно-возмущенный метод [5], вариационный метод с использованием полного трехмерного гамильтониана тела [6] и методом, полученным из физики столкновений [7]. Для вариационных методов [8] [9] [10] точность достигает 10^{-15} и даже 10^{-20} для нижних уровней. Оказывается, что такие высокоточные расчёты чувствительны к отношению массы протона к массе электрона. Это даёт возможность найти это отношение, проводя высокоточные измерения оптических переходов в H_2^+ , например между различными колебательно-вращательными уровнями электронного основного состояния $1s\sigma$.

Целью данной работы является исследование спектра молекулярного иона водорода H_2^+ различными методами, а также сравнение результатов этих методов. Дипломная работа включает в себя три задачи и имеет следующую структуру:

1. В первой главе приведён метод для решения приближенной системы - состоящей из двух неподвижных ядер и движущегося электрона.
2. Во второй главе описывается решение трёхчастичной задачи с помощью адиабатического разложения волновой функции. При его реализации используются результаты, получаемые для задачи двух кулоновских центров.
3. В третьей главе описано сведение исходной задачи к вариационной для последующе-

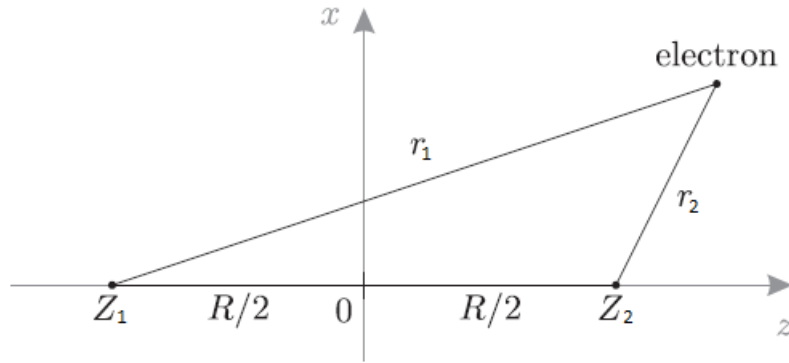
го её решения с помощью метода конечных элементов.

4. В приложениях приведены фрагменты исходного кода, разработанного для расчёта адиабатических поправок, а также для решения задачи двух кулоновских центров.

Глава 1

Задача двух кулоновских центров

Сделаем приближение исходной задачи: считая массы положительно заряженных частиц бесконечными, найдём волновую функцию и термы электрона в поле неподвижных зарядов Z_1 и Z_2 , которые находятся на расстоянии R друг от друга (Рис. 1.1).

Рис. 1.1. Система Z_1eZ_2

Уравнение Шрёдингера (в атомных единицах) принимает вид

$$\Delta\Psi + 2 \left[E - \left(-\frac{Z_1}{r_1} - \frac{Z_2}{r_2} \right) \right] \Psi = 0, \quad (1.1)$$

где r_1 и r_2 - расстояния от нижнего и верхнего фокусов до электрона соответственно. Эту задачу удобно решать в вытянутых сфероидальных координатах. Они могут быть получены вращением вокруг большой оси эллипсов эллиптической системы координат (1.2) и связаны с прямоугольными координатами соотношениями:

$$\begin{aligned} x &= \frac{R}{2} [(\xi^2 - 1)(1 - \eta^2)]^{1/2} \cos \varphi, & y &= \frac{R}{2} [(\xi^2 - 1)(1 - \eta^2)]^{1/2} \sin \varphi, & z &= \frac{R}{2} \xi \eta, \\ \xi &= \frac{r_1 + r_2}{R}, & \eta &= \frac{r_1 - r_2}{R}, & \varphi &= \arctg \frac{y}{x}, \\ \xi &\in [1, \infty), & \eta &\in [-1, 1], & \varphi &\in [0, 2\pi). \end{aligned} \quad (1.2)$$

Удобство этих координат заключается в том, что уравнение (1.1) допускает разделение переменных

$$\Psi(\xi, \eta, \varphi) = \Pi(\xi)\Xi(\eta)\Phi(\varphi) \quad (1.3)$$

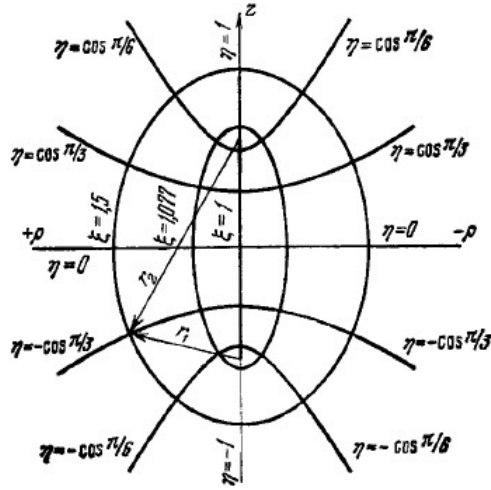


Рис. 1.2. Сечение сфероидальных координат плоскостью $\varphi = const$

и приводится [11] к системе

$$\left\{ \begin{array}{l} \Phi_m = e^{\pm im\varphi}, \quad m \in \mathbb{Z}; \end{array} \right. \quad (1.4)$$

$$\left\{ \begin{array}{l} \frac{d}{d\xi}(\xi^2 - 1) \frac{d}{d\xi} \Pi + \left[-\lambda - p^2(\xi^2 - 1) + a\xi - \frac{m^2}{\xi^2 - 1} \right] \Pi = 0; \end{array} \right. \quad (1.5)$$

$$\left\{ \begin{array}{l} \frac{d}{d\eta}(1 - \eta^2) \frac{d}{d\eta} \Xi + \left[\lambda - p^2(1 - \eta^2) + b\eta - \frac{m^2}{1 - \eta^2} \right] \Xi = 0. \end{array} \right. \quad (1.6)$$

В системе уравнений введены обозначения

$$a = R(Z_2 + Z_1), \quad b = R(Z_2 - Z_1), \quad p^2 = -\frac{ER^2}{2}. \quad (1.7)$$

1.1. Угловые кулоновские сфероидальные функции

Угловые кулоновские сфероидальные функции (у.к.с.ф.) $\Xi(p, b, \eta)$ определяются [11] как решения уравнения (1.6) с граничными условиями

$$|\Xi(p, b, \pm 1)| < \infty, \quad -1 \leq \eta \leq 1. \quad (1.8)$$

Эта задача Штурма-Лиувилля имеет бесконечный невырожденный дискретный спектр. Функции $\Xi_{mq}(p, b, \eta)$ и соответствующие собственные значения $\lambda_{mq}^{(\eta)}$ при заданных m, p, b нумеруются по числу нулей q на интервале $\eta \in [-1, 1]$.

Найдём производную $\lambda_{mq}^{(\eta)}$ по параметру p методом из книги [11]. Для этого рассмот-

рим нашу краевую задачу при двух различных значениях параметра p и p'

$$\begin{aligned} \frac{d}{d\eta}(1-\eta^2)\frac{d}{d\eta}\Xi_{mq}(p,\eta) + \left[\lambda_{mq}^{(\eta)}(p) - p^2(1-\eta^2) - b\eta - \frac{m^2}{1-\eta^2} \right] \Xi_{mq}(p,\eta) &= 0, \\ \frac{d}{d\eta}(1-\eta^2)\frac{d}{d\eta}\Xi_{mq}(p',\eta) + \left[\lambda_{mq}^{(\eta)}(p') - p'^2(1-\eta^2) - b\eta - \frac{m^2}{1-\eta^2} \right] \Xi_{mq}(p',\eta) &= 0. \end{aligned}$$

Умножим первое уравнение на $\Xi_{mq}(p',\eta)$, а второе на $\Xi_{mq}(p,\eta)$, проинтегрируем по η от -1 до 1 и вычтем одно из другого.

$$(\lambda_{mq}^{(\eta)}(p) - \lambda_{mq}^{(\eta)}(p')) \int_{-1}^1 \Xi_{mq}(p,\eta)\Xi_{mq}(p',\eta) d\eta = (p^2 - p'^2) \int_{-1}^1 \Xi_{mq}(p,\eta)\Xi_{mq}(p',\eta)(1-\eta^2) d\eta.$$

Устремив теперь $p' \rightarrow p$, перейдём к производной

$$\frac{1}{2p} \frac{\partial \lambda_{mq}^{(\eta)}(p)}{\partial p} = \int_{-1}^1 \Xi_{mq}^2(p, b, \eta)(1-\eta^2) d\eta. \quad (1.9)$$

Аналогичным образом

$$\frac{\partial}{\partial b} \lambda_{mq}^{(\eta)}(p, b) = - \int_{-1}^1 \Xi_{mq}^2(p, b, \eta) \eta d\eta, \quad (1.10)$$

Здесь $\Xi_{mq}^2(p, b, \eta)$ - нормированы:

$$\int_{-1}^1 \Xi_{mq}^2(p, b, \eta) d\eta = \delta_{qq'}.$$

Таким образом, $\lambda_{mq}^{(\eta)}(p, b)$ монотонно растущая по p , а по b знак производной может быть любой.

Разложение для функций $\Xi_{mq}(p, b, \eta)$ ищутся в виде [11]

$$\Xi_{mq}(p, b, \eta) = (1-\eta^2)^{m/2} e^{-p(1+\eta)} \sum_{s=0}^{\infty} c_s (1+\eta)^s, \quad (1.11a)$$

$$\Xi_{mq}(p, b, \eta) = (1-\eta^2)^{m/2} e^{-p(1-\eta)} \sum_{s=0}^{\infty} c'_s (1-\eta)^s. \quad (1.11b)$$

Подстановка в (1.6) приводит к трёхчленным рекуррентным соотношениям

$$\rho_{sq} c_{s+1} - \chi_s c_s + \delta_s c_{s-1} = 0, \quad c_{-1} = 0, \quad (1.12)$$

Для случая разложения (1.11a) коэффициенты в (1.12)

$$\begin{aligned}\rho_s &= 2(s+1)(s+m+1), \\ \chi_s &= s(s+1) + (2s+m+1)(2p+m) + b - \lambda, \\ \delta_s &= b + 2p(s+m).\end{aligned}\tag{1.13}$$

Бесконечная система (1.12) рекуррентных соотношений принимает вид

$$A \vec{c} = \begin{pmatrix} -\chi_0 & \rho_0 & 0 & 0 & \dots \\ \delta_1 & -\chi_1 & \rho_1 & 0 & \dots \\ 0 & \delta_2 & -\chi_2 & \rho_2 & \dots \\ \dots & \dots & \dots & \dots & \dots \end{pmatrix} \begin{pmatrix} c_0 \\ c_1 \\ c_2 \\ \vdots \end{pmatrix} = 0.\tag{1.14}$$

Собственные значения λ краевой задачи находятся из условия разрешимости этой однородной системы

$$J_0 = \det A = 0.\tag{1.15}$$

Этот определитель является полиномом бесконечной степени от λ и его непосредственное вычисление, вообще говоря, невозможно, поэтому работать с ним неудобно. Заметим, что $J_0 = -\chi_0 J_1 - \rho_0 \delta_1 J_2$, где J_1 и J_2 - определители той же матрицы без одного и двух первых строк и столбцов соответственно. Если предположить, что $J_1 \neq 0$, то нетрудно видеть, что дробь J_0/J_1 представима в виде бесконечной цепной дроби

$$-\frac{J_0}{J_1} = \chi_0 - \frac{\rho_0 \delta_1}{\chi_1 - \frac{\rho_1 \delta_2}{\chi_2 - \dots}} \equiv \chi_0 - \frac{\rho_0 \delta_1}{\chi_1 -} \frac{\rho_1 \delta_2}{\chi_2 -} \dots,\tag{1.16}$$

причём $J_0 = 0 \iff \frac{J_0}{J_1} = 0$.

Условие

$$\left| \frac{\rho_{s-1} \delta_s}{\chi_{s-1} \chi_s} \right| < \frac{1}{4}, \quad s \geq 1\tag{1.17}$$

является достаточным для сходимости цепной дроби. Для разложения (1.11a) выполняется

$$\left| \frac{\rho_{s-1} \delta_s}{\chi_{s-1} \chi_s} \right| \xrightarrow{s \rightarrow \infty} \left(\frac{p}{s} \right)^2,$$

поэтому условие (1.17) начинает выполняться с номера $s > 2p + 1$. Это следует иметь в виду при выборе количества членов в цепной дроби (1.16).

Для коэффициентов c'_s из разложения (1.11b) соотношение (1.12) остаётся в силе, а в формулах (1.13) нужно заменить $p \rightarrow -p$. Такая замена не изменит вида цепной дроби

(1.16), так как χ_s и произведение $\rho_s \delta_{s+1}$ не зависят от знака p . Следовательно, в обоих случаях собственные значения λ находятся из одного и того же уравнения (1.15).

Поскольку бесконечная цепная дробь (1.16) сходится, её можно оборвать на достаточном большом элементе N , после чего собственные значения определителя J_0 вычисляются как корни полинома $F_{N+1}(p, b, \lambda)$, заданного соотношением

$$F_{N+1}^{(\eta)}(p, b, \lambda) = \frac{J_{0(N+1)}(p, b, \lambda)}{J_{1(N+1)}(p, b, \lambda)} = \chi_0 - \frac{\rho_0 \delta_1}{\chi_1 -} \frac{\rho_1 \delta_2}{\chi_2 -} \dots \frac{\rho_N \delta_{N+1}}{\chi_{N+1}}. \quad (1.18)$$

Из определения (1.18) вытекают рекуррентные соотношения для полиномов $J_{0k}(p, b, \lambda)$ и $J_{1k}(p, b, \lambda)$

$$\begin{aligned} J_{0(k+1)} &= \chi_k J_{0k} - \rho_{k-1} \delta_k J_{0(k-1)}, & J_{0(-1)} &= 1, & J_{00} &= \chi_0. \\ J_{1(k+1)} &= \chi_k J_{1k} - \rho_{k-1} \delta_k J_{1(k-1)}, & J_{1(-1)} &= 0, & J_{10} &= 1. \end{aligned}$$

1.2. Радиальные кулоновские сфероидальные функции

Радиальные кулоновские сфероидальные функции (р.к.с.ф.) $\Pi(p, a, \xi)$ определяются [11] как решения уравнения (1.5) с граничными условиями

$$|\Pi(p, a, 1)| < \infty, \quad \Pi_{mk}(p, a, \xi) \xrightarrow{\xi \rightarrow \infty} 0.$$

Эта задача при $p^2 > 0$ и фиксированных значениях m и a имеет дискретный спектр. Функции $\Pi_{mk}(p, a, \xi)$ и соответствующие собственные значения $\lambda_{mk}^{(\xi)}$ при заданных m, p, a нумеруются по числу нулей $k = 0, 1, 2, \dots$ на интервале $\xi \in (1, \infty)$.

Легко показать, как и в предыдущем пункте, что $\lambda_{mk}^{(\xi)}(p, a)$ являются монотонно убывающими по p и монотонно растущими по a .

Уравнение (1.5) для р.к.с.ф. после выделения особенностей [11] в точках $\xi = 1$ и $\xi = \infty$

$$\Pi_{mk}(p, a, \xi) = (\xi^2 - 1)^{m/2} e^{-p(\xi-1)} f(\xi) \quad (1.19)$$

приведёт к следующему уравнению для функции $f(\xi)$

$$(\xi^2 - 1) f''(\xi) + (-2p(\xi^2 - 1) + 2(m+1)\xi) f'(\xi) + (-\lambda + m(m+1) + 2p\sigma\xi) f(\xi) = 0, \quad (1.20)$$

где

$$\sigma = \frac{a}{2p} - (m+1).$$

Вид функции $f(\xi)$ был предложен Яффе [2]

$$f(\xi) = (\xi + 1)^\sigma \sum_{s=0}^{\infty} g_s x^s, \quad (1.21)$$

где

$$x = (\xi - 1)/(\xi + 1).$$

Подстановка в уравнение (1.20) приводит рекуррентному соотношению

$$\alpha_s g_{s+1} - \beta_s g_s + \gamma_s g_{s-1} = 0, \quad (1.22)$$

с коэффициентами

$$\begin{aligned} \alpha_s &= (s+1)(s+m+1), \\ \beta_s &= 2s(s+2p-\sigma) - (m+\sigma)(m+1) - 2p\sigma + \lambda, \\ \gamma_s &= (s-1-\sigma)(s-m-1-\sigma). \end{aligned} \quad (1.23)$$

Поскольку

$$\left| \frac{\alpha_{s-1}\gamma_s}{\beta_{s-1}\beta_s} \right| \xrightarrow{s \rightarrow \infty} \frac{1}{4} \left(1 - \frac{4p}{s} \right),$$

то цепная дробь

$$F^{(\xi)}(p, a, \lambda) = \beta_0 - \frac{\alpha_0\gamma_1}{\beta_1-} \frac{\alpha_1\gamma_2}{\beta_2-} \dots = 0 \quad (1.24)$$

сходится при всех $p > 0$.

По аналогии с у.к.с.ф. для нахождения нулей (1.24) бесконечная дробь заменяется конечной

$$F_{N+1}^{(\xi)}(p, a, \lambda) = \frac{J_{0(N+1)}(p, a, \lambda)}{J_{1(N+1)}(p, a, \lambda)}, \quad (1.25)$$

в которой

$$\begin{aligned} J_{0(k+1)} &= \beta_k J_{0k} - \alpha_{k-1}\gamma_k J_{0(k-1)}, & J_{0(-1)} &= 1, & J_{00} &= \beta_0. \\ J_{1(k+1)} &= \beta_k J_{1k} - \alpha_{k-1}\gamma_k J_{1(k-1)}, & J_{1(-1)} &= 0, & J_{10} &= 1. \end{aligned}$$

1.3. Алгоритм

Представим алгоритм действий для нахождения термина $E_{kqm}(R)$, то есть нахождения таких $p_{kqm}(R)$ и $\lambda_{kqm}(R)$, чтобы оба уравнения (1.5, 1.6) выполнялись.

1. Из множества корней цепных дробей (1.18) и (1.25) необходимо выбрать соответствующий квантовым числам kqm . Для этого можно сначала решить задачу при $R = R_0 \approx 0$. В этом случае система близка к водородоподобному атому с квантовы-

ми числами N' , l' , m' , которые связаны с k , q , m исходной задачи выражениями

$$N' = k + l' + 1, \quad (1.26)$$

$$l' = q + m', \quad (1.27)$$

$$m' = m. \quad (1.28)$$

Энергию можно найти по теории возмущения ([11]):

$$E_{kqm}(R_0) = -\frac{(Z_1 + Z_2)^2}{2N'^2} - \frac{2Z_1Z_2[l'(l' + 1) - 3m'^2]}{N'^3l'(l' + 1)(2l' - 1)(2l' + 1)(2l' + 3)}(Z_1 + Z_2)^2R^2,$$

отсюда $p_{kqm}(R_0) = \sqrt{-E_{kqm}(R_0)R_0^2/2}$.

Чтобы определить $\lambda_{kqm}(R_0)$, рассмотрим уравнение (1.6) с параметрами $p = 0$, $b = 0$:

$$\frac{d}{d\eta}(1 - \eta^2)\frac{d}{d\eta}\Xi_{qm} + \left[\lambda - \frac{m^2}{1 - \eta^2}\right]\Xi_{qm} = 0 \quad (1.29)$$

Уравнение (1.29) называется обобщённым уравнением Лежандра, а спектром являются $\lambda_{qm} = (q + m)(q + m + 1)$. Поэтому искомый корень $\lambda_{kqm}(R_0)$ ищется в окрестности $(q + m)(q + m + 1)$.

2. Затем, не меняя p , постепенно увеличиваем a и b до искомых значений $R(Z_1 + Z_2)$ и $R(Z_2 - Z_1)$ соответственно, следя за положением корней $\lambda_{km}^{(\xi)}$ и $\lambda_{qm}^{(\eta)}$.
3. Наконец, постепенно увеличивая $p(R)$, добиваемся того, чтобы корни $\lambda_{km}^{(\xi)}$ и $\lambda_{qm}^{(\eta)}$ совпали. Единственность p следует из того, что $\partial\lambda_{km}^{(\xi)}/\partial p$ и $\partial\lambda_{qm}^{(\eta)}/\partial p$ имеют разные знаки. Таким образом, энергия $E_{kqm}(R) = -2p_{kqm}^2/R^2$ найдена.
4. Найти волновые функции в виде рядов (1.11) и (1.21) можно, решая системы линейных уравнений (1.14) с найденными параметрами p и $\lambda = \lambda_{mk}^{(\xi)}(p, a) = \lambda_{mk}^{(\eta)}(p, b)$.

1.4. Результаты

Алгоритм, приведённый выше, был реализован на языке C++. Основные его фрагменты можно найти в приложении. В таблицах (1.1, 1.2) приведены результаты вычисления энергетического параметра p для некоторых состояний двух систем этим реализованным алгоритмом и программой ODKIL [12], основанной на методе Киллингбека [13].

Таблица 1.1. Сравнение параметра $p = \sqrt{-ER^2/2}$, $Z_1 = Z_2 = 1$

Программа	Расстояние между центрами				
	0.1	1	3	7	15
	1σ				
odkill	0.0994545637	0.8519936365	2.0246068478	3.9858566336	7.9846560361
данный алгоритм	0.0994545642	0.8519936366	2.0246068478	3.9858566336	7.9847044938
	$2p\pi$				
odkill	0.0499834041	0.4868818935	1.3187104819	2.6033581804	4.6662461408
данный алгоритм	0.0499834040	0.4868818934	1.3187104819	2.6033581804	4.6662461408
	$3d\sigma$				
odkill	0.0333354507	0.3355478267	1.0764615030	2.7488731881	4.9652952060
данный алгоритм	0.0333354507	0.3355478267	1.0764615030	2.7488731881	4.9652952059

Таблица 1.2. Сравнение параметра $p = \sqrt{-ER^2/2}$, $Z_1 = 1$, $Z_2 = 3$

Программа	Расстояние между центрами				
	0.1	1	3	7	15
	1σ				
odkill	0.1972930925	1.6614705377	4.6638652665	10.6653779065	22.6660552774
данный алгоритм	0.1972930927	1.6614705377	4.6638652665	10.6653779065	22.6660552774
	$2p\pi$				
odkill	0.0999015466	0.9450977656	2.5471492924	5.5699335747	11.5776676634
данный алгоритм	0.0999015464	0.9450977650	2.5471492924	5.5699335747	11.5776676634
	$3d\sigma$				
odkill	0.0666793919	0.6819065346	2.3173201493	4.7953134792	8.8767710638
данный алгоритм	0.0666793919	0.6819065346	2.3173201493	4.7953134792	8.8767710638

Как видно из таблиц, значения параметра p практически идентичны. Интересно знать, как выглядят термы, которые получаются в результате вычислений. На рисунках (1.3, 1.4, 1.5) приведены термы для некоторых систем.

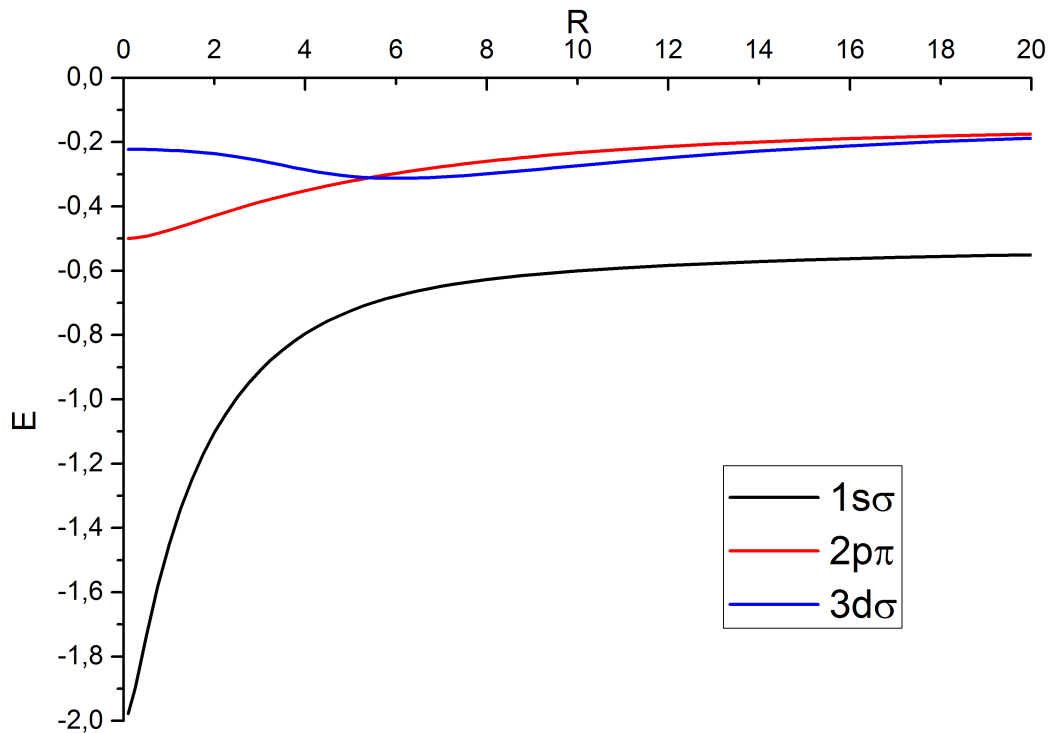
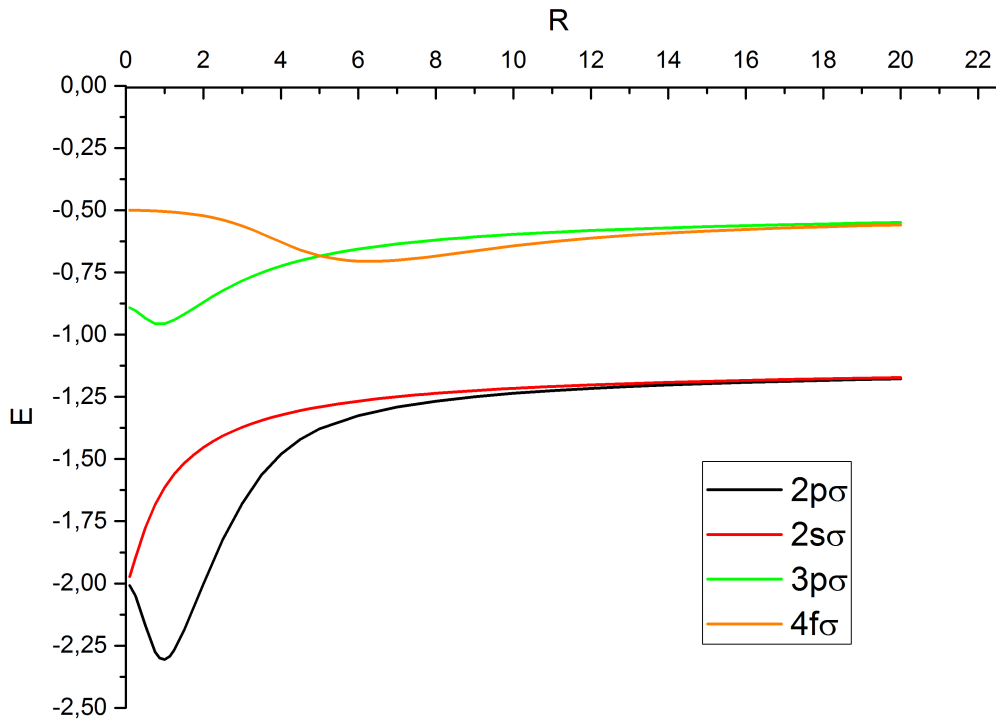
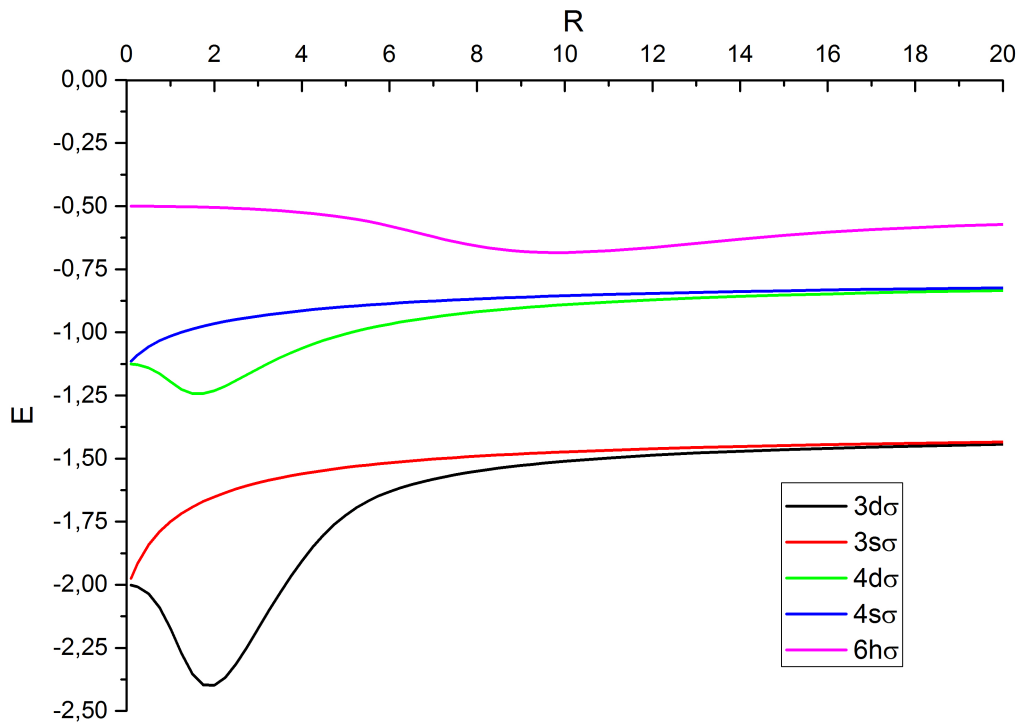


Рис. 1.3. Термы для системы $Z_1 = 1, Z_2 = 1$

Также интерес имеет распределение плотности вероятности электрона в пространстве. Оно приведено на рисунках (1.6, 1.7, 1.8) для различных конфигураций.

Отметим, что на малых межъядерных расстояниях распределение очень близко к распределению электрона водородоподобного атома.

Рис. 1.4. Термы для системы $Z_1 = 1, Z_2 = 3$ Рис. 1.5. Термы для системы $Z_1 = 1, Z_2 = 5$

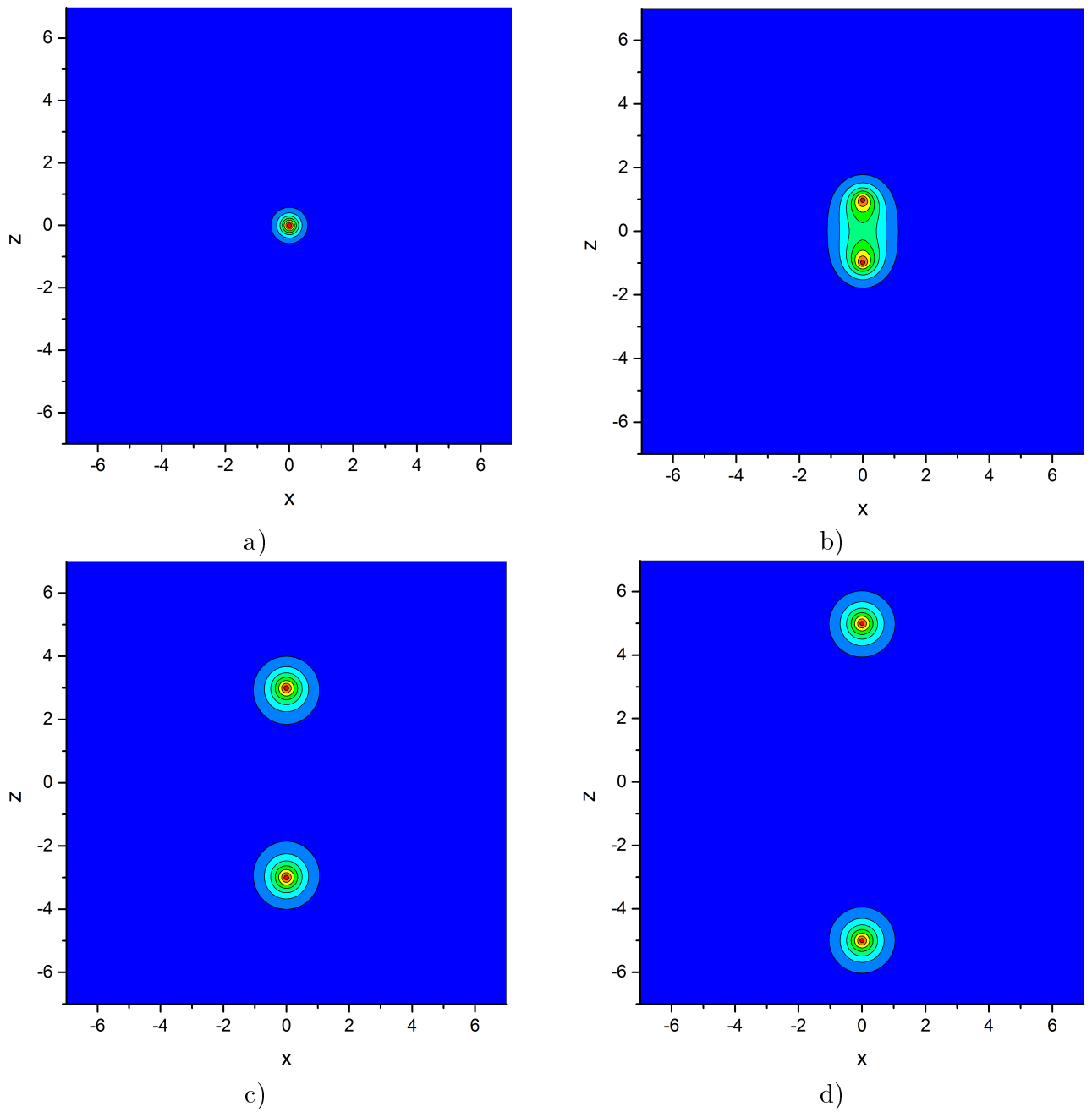


Рис. 1.6. Распределение плотности вероятности для системы $Z_1 = 1, Z_2 = 1, 1s\sigma$: а) $R = 0, 1$, б) $R = 2$, в) $R = 6$, г) $R = 10$. Расположение неподвижных зарядов совпадает с максимумами плотности

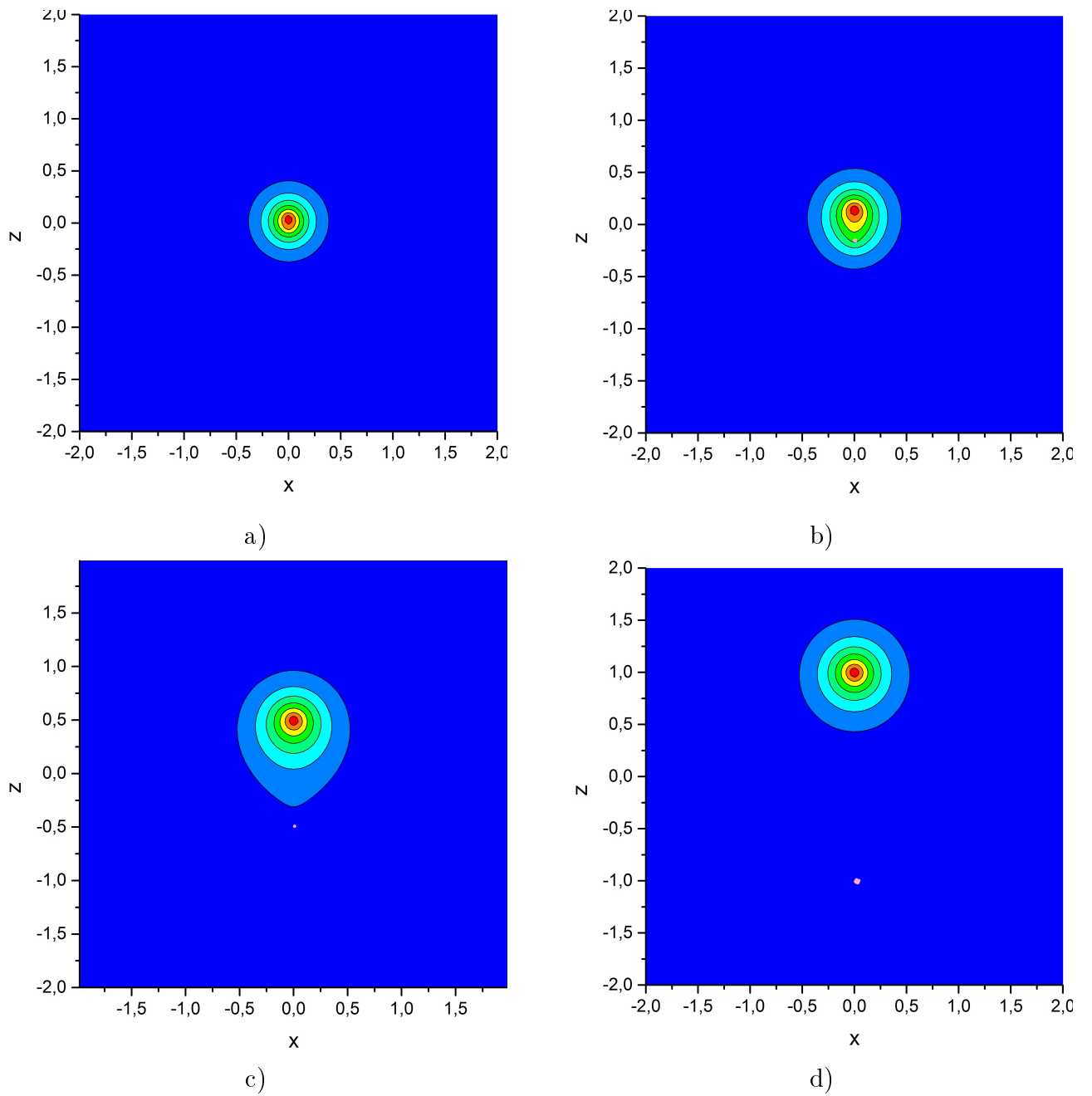


Рис. 1.7. Распределение плотности вероятности для системы $Z_1 = 1$, $Z_2 = 2$, 1σ : а) $R = 0, 1$, б) $R = 0, 3$, в) $R = 1$, г) $R = 2$. Положение заряда 2 соответствует максимуму плотности, положение заряда 1 отмечено розовой точкой.

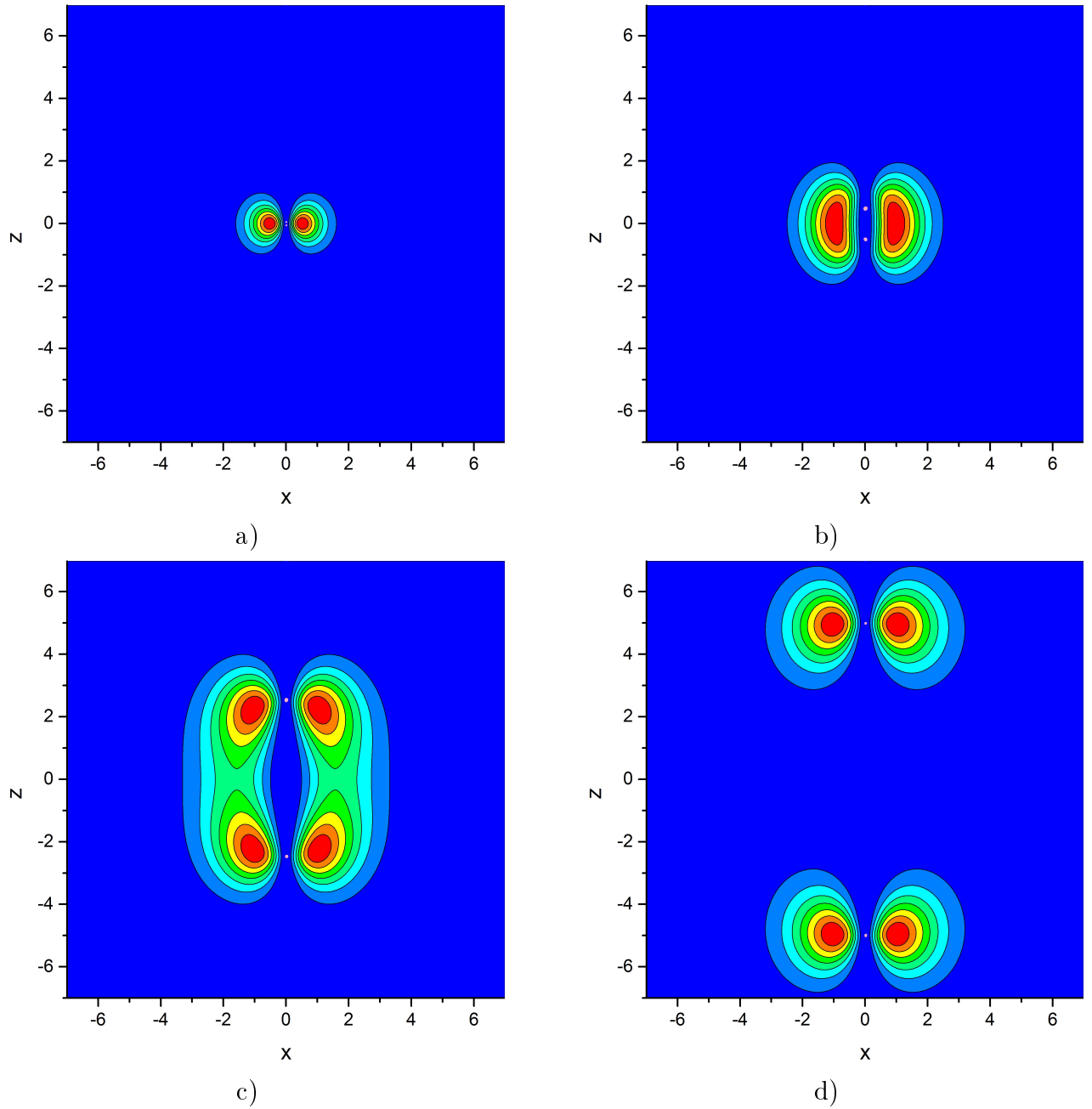


Рис. 1.8. Распределение плотности вероятности для системы $Z_1 = 2$, $Z_2 = 2$, $2p\pi$: а) $R = 0, 1$, б) $R = 2$, в) $R = 5$, г) $R = 10$. Положение зарядов отмечено розовыми точками.

Глава 2

Адиабатическое разложение волновой функции

Рассматриваемая система состоит из трёх частиц массами M_1 , M_2 и M_3 и зарядами Z_1e , Z_2e , $-e$ соответственно (Рис. 2.1).

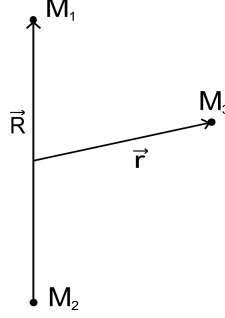


Рис. 2.1. Схема

Стационарное уравнение Шрёдингера в этом случае имеет вид

$$\left[-\frac{\hbar^2}{2} \left(\frac{1}{M_1} \Delta_1 + \frac{1}{M_2} \Delta_2 + \frac{1}{M_3} \Delta_3 \right) + \frac{Z_1 Z_2 e^2}{|\mathbf{r}_1 - \mathbf{r}_2|} - \frac{Z_1 e}{|\mathbf{r}_1 - \mathbf{r}_3|} - \frac{Z_2 e}{|\mathbf{r}_2 - \mathbf{r}_3|} \right] \psi(\mathbf{r}_1, \mathbf{r}_2, \mathbf{r}_3) = W \psi(\mathbf{r}_1, \mathbf{r}_2, \mathbf{r}_3) \quad (2.1)$$

Удобно перейти в систему координат Якоби и преобразовать уравнение (2.1) к виду

$$\left[-\frac{\hbar^2}{2} \left(\frac{1}{M_t} \Delta_c + \frac{1}{M} \Delta_{\mathbf{R}} + \frac{1}{m} \Delta_{\mathbf{r}} \right) + V \right] \psi(\mathbf{R}, \mathbf{r}, \mathbf{r}_c) = W \psi(\mathbf{R}, \mathbf{r}, \mathbf{r}_c), \quad (2.2)$$

в котором

$$\begin{aligned} \mathbf{r}_c &= \frac{M_1 \mathbf{r}_1 + M_2 \mathbf{r}_2 + M_3 \mathbf{r}_3}{M_t}, & \mathbf{R} &= \mathbf{r}_1 - \mathbf{r}_2, & \mathbf{r} &= \mathbf{r}_3 - \frac{M_1}{M_1 + M_2} \mathbf{r}_1 - \frac{M_2}{M_1 + M_2} \mathbf{r}_2, \\ \frac{1}{M} &= \frac{1}{M_1} + \frac{1}{M_2}, & \frac{1}{m} &= \frac{1}{M_3} + \frac{1}{M_1 + M_2}, & M_t &= M_1 + M_2 + M_3, \\ V &= \frac{Z_1 Z_2 e^2}{|\mathbf{R}|} - \frac{Z_1 e}{\left| \mathbf{r} - \frac{M_2}{M_1 + M_2} \mathbf{R} \right|} - \frac{Z_2 e}{\left| \mathbf{r} + \frac{M_1}{M_1 + M_2} \mathbf{R} \right|}. \end{aligned} \quad (2.3)$$

Зависимость волновой функции $\psi(\mathbf{R}, \mathbf{r}, \mathbf{r}_c)$ от движения центра масс исключается стандартным образом

$$\psi(\mathbf{R}, \mathbf{r}, \mathbf{r}_c) = \exp(i(\mathbf{P}_c, \mathbf{r}_c)/\hbar) \Psi(\mathbf{r}, \mathbf{R}), \quad (2.4)$$

где \mathbf{P}_c - импульс, связанный с движением центра масс.

Разложим волновую функцию по решениям задачи двух центров $\Phi_k(\mathbf{r}; R)$, построен-

ных в предыдущей главе (1.1)

$$\Psi(\mathbf{r}, \mathbf{R}) = \sum_k \Phi_k(\mathbf{r}; R) \psi_k(\mathbf{R}). \quad (2.5)$$

Разложение (2.5) называется адиабатическим представлением задачи трёх тел, поскольку используется приближение Борна — Оппенгеймера. В этом приближении скорость электронного движения значительно выше скорости относительного движения ядер, поэтому движение электрона можно рассматривать при неподвижных ядрах.

Подстановка ряда (2.5) в исходное уравнение (2.2) с последующим усреднением по координатам \mathbf{r} даёт бесконечную систему уравнений на функции $\psi_k(\mathbf{R})$

$$\left(-\frac{1}{2M} \Delta_{\mathbf{R}} + \frac{Z_1 Z_2}{R} + E_k + C_{kk}(R) \right) \psi_k(\mathbf{R}) + \sum_j (H_{kj} + 2\mathbf{Q}_{kj} \nabla_{\mathbf{R}}) \psi_j(\mathbf{R}) = E \psi_k(\mathbf{R}). \quad (2.6)$$

В этом уравнении введены обозначения

$$\begin{aligned} C_{kj}(R) &= -\frac{1}{8M} \int \Phi_k^*(\mathbf{r}; R) \Delta_{\mathbf{r}} \Phi_k(\mathbf{r}; R) d\mathbf{r}, \\ \mathbf{Q}_{kj}(\mathbf{R}) &= -\frac{1}{2M} \int d\mathbf{r} \Phi_k^*(\mathbf{r}; R) (-\nabla_{\mathbf{R}}) \Phi_j(\mathbf{r}; R) = -\mathbf{Q}_{jk}, \\ H_{kj}(\mathbf{R}) &= -\frac{1}{2M} \int d\mathbf{r} \Phi_k^*(\mathbf{r}; R) \Delta_{\mathbf{R}} \Phi_j(\mathbf{r}; R), \end{aligned} \quad (2.7)$$

В адиабатическом приближении недиагональных матричных элементы отбрасываются и система распадается на независимые уравнения для каждого состояния $\psi_k(\mathbf{R})$

$$\left(-\frac{1}{2M} \Delta_{\mathbf{R}} + \frac{Z_1 Z_2}{R} + E_k + C_{kk}(R) + H_{kk}(\mathbf{R}) \right) \psi_k(\mathbf{R}) = E \psi_k(\mathbf{R}). \quad (2.8)$$

Если $H_{kk}(\mathbf{R})$ не зависит от направления вектора \mathbf{R} (что выполняется, например, для основного электронного состояния), то можно перейти к одномерному уравнению на радиальную функцию $\chi_j(R)$ известной подстановкой $\psi_j(\mathbf{R}) = \chi_j(R) Y_{Jm_j}(\theta_R, \varphi_R) / R$

$$\chi_{j\nu}''(R) + 2M \left[E_{j\nu} - E_j(R) - \frac{Z_1 Z_2}{R} - (H_{jj}(R) + C_{jj}(R)) - \frac{J(J+1)}{2MR^2} \right] \chi_{j\nu}(R) = 0. \quad (2.9)$$

Здесь состояния нумеруются шестью квантовыми числами: $j = (Nlm)$ - от электронного движения и три $\nu = (vJm_j)$ от ядерного. m_j - проекция полного момента J на вдоль оси, проходящей через заряды Z_1 и Z_2 , а v - вибрационное квантовое число, равное числу нулей функции $\chi_{j\nu}(R)$.

Краевые условия выбираются естественным образом

$$\begin{cases} \chi_{j\nu}(0) = 0; \\ \chi_{j\nu}(\infty) = 0. \end{cases} \quad (2.10)$$

$$\quad (2.11)$$

2.1. Нахождение колебательного спектра для основного электронного состояния

Найдём спектр для основного электронного состояния $\{100\}$. Уравнение (2.9) решается методом конечных разностей.

Величина $H(R)$ вычисляется следующим образом [14]

$$\begin{aligned} (-2M)H_{11}(\mathbf{R}) &= \int d\mathbf{r} \Phi_{100}^*(\mathbf{r}; R) \Delta_{\mathbf{R}} \Phi_{100}(\mathbf{r}; R) = \\ &= \int \Phi_{100}^*(\mathbf{r}; R) \frac{\partial^2 \Phi_{100}(\mathbf{r}; R)}{\partial R^2} d\mathbf{r} - \frac{1}{R^2} \int \Phi_{100}^*(\mathbf{r}; R) (L_x^2 + L_y^2) \Phi_{100}(\mathbf{r}; R) d\mathbf{r}, \end{aligned} \quad (2.12)$$

где L_x и L_y операторы углового момента относительно осей x и y прямоугольной системы координат $\{xyz\}$, ось z которой направлена вдоль вектора \mathbf{R} . Для вычисления этого выражения используем равенство

$$L_x^2 + L_y^2 = \mathbf{L}^2 - L_z^2$$

и известное выражение для квадрата углового момента и его компоненты

$$\begin{aligned} \mathbf{L}^2 &= - \left(\frac{1}{\sin \theta} \frac{\partial}{\partial \theta} \left[\sin \theta \frac{\partial}{\partial \theta} \right] + \frac{1}{\sin^2 \theta} \frac{\partial^2}{\partial \varphi^2} \right), \\ L_z &= -i \frac{\partial}{\partial \varphi}. \end{aligned}$$

С учетом $\frac{\partial}{\partial \varphi} \Phi_{100}(\mathbf{r}; R) = 0$ окончательно получаем:

$$\begin{aligned} (-2M)H_{11}(\mathbf{R}) &= \\ &= \int \Phi_{100}^*(\mathbf{r}; R) \frac{\partial^2 \Phi_{100}(\mathbf{r}; R)}{\partial R^2} d\mathbf{r} - \frac{1}{R^2} \int \Phi_{100}^*(\mathbf{r}; R) \left(\frac{1}{\sin \theta} \frac{\partial}{\partial \theta} \left[\sin \theta \frac{\partial}{\partial \theta} \right] \right) \Phi_{100}(\mathbf{r}; R) d\mathbf{r}. \end{aligned} \quad (2.13)$$

Производные по R и θ вычисляются стандартно конечно-разностным методом по трём точкам. Шаг h для производной по R при этом составляет 0.02 для промежутка $0.1 \leq R \leq 10$, и 0.1 для $10 < R \leq 15$. Интегралы вычисляются адаптивным методом, используя квадратурную формулу Гаусса-Кронрода с 15 точками. Этот метод реализован в библиотеке `gsl(C++)` и используется для вычислений на дискретном наборе значений R . Параметры: с относительной ошибкой не более 0.01 и максимальным количеством подынтервалов 100000.

Шаг для производной по θ составляет 0.001.

Величина $C(R)$ вычисляется по формуле (2.7)

$$\begin{aligned}
 (-2M)C_{11}(R) &= \frac{1}{4} \int \Phi_{100}^*(\mathbf{r}; R) \Delta_{\mathbf{r}} \Phi_{100}(\mathbf{r}; R) d\mathbf{r} = \\
 &= \frac{1}{4} \int \Phi_{100}^*(\mathbf{r}; R) \left[-2E_{100} + \left(-\frac{Z_1}{r_1} - \frac{Z_2}{r_2} \right) \right] \Phi_{100}(\mathbf{r}; R) d\mathbf{r} = \left[\begin{array}{l} \mathbf{r}_1 = \mathbf{r} + \mathbf{R}/2 \\ \mathbf{r}_2 = \mathbf{r} - \mathbf{R}/2 \end{array} \right] = \\
 &= \frac{1}{4} \left[-2E_{100} - \int \Phi_{100}^*(\mathbf{r}_1; R) \frac{Z_1}{r_1} \Phi_{100}(\mathbf{r}_1; R) d\mathbf{r}_1 - \int \Phi_{100}^*(\mathbf{r}_2; R) \frac{Z_2}{r_2} \Phi_{100}(\mathbf{r}_2; R) d\mathbf{r}_2 \right].
 \end{aligned}$$

Данный интеграл вычисляется с теми же параметрами, что и величина $H(R)$. Сравнивая результаты со значениями из статьи [15], приходим к выводу, что они отличаются друг от друга на величину порядка 10^{-7} а. ед. энергии. Ниже представлены графики.

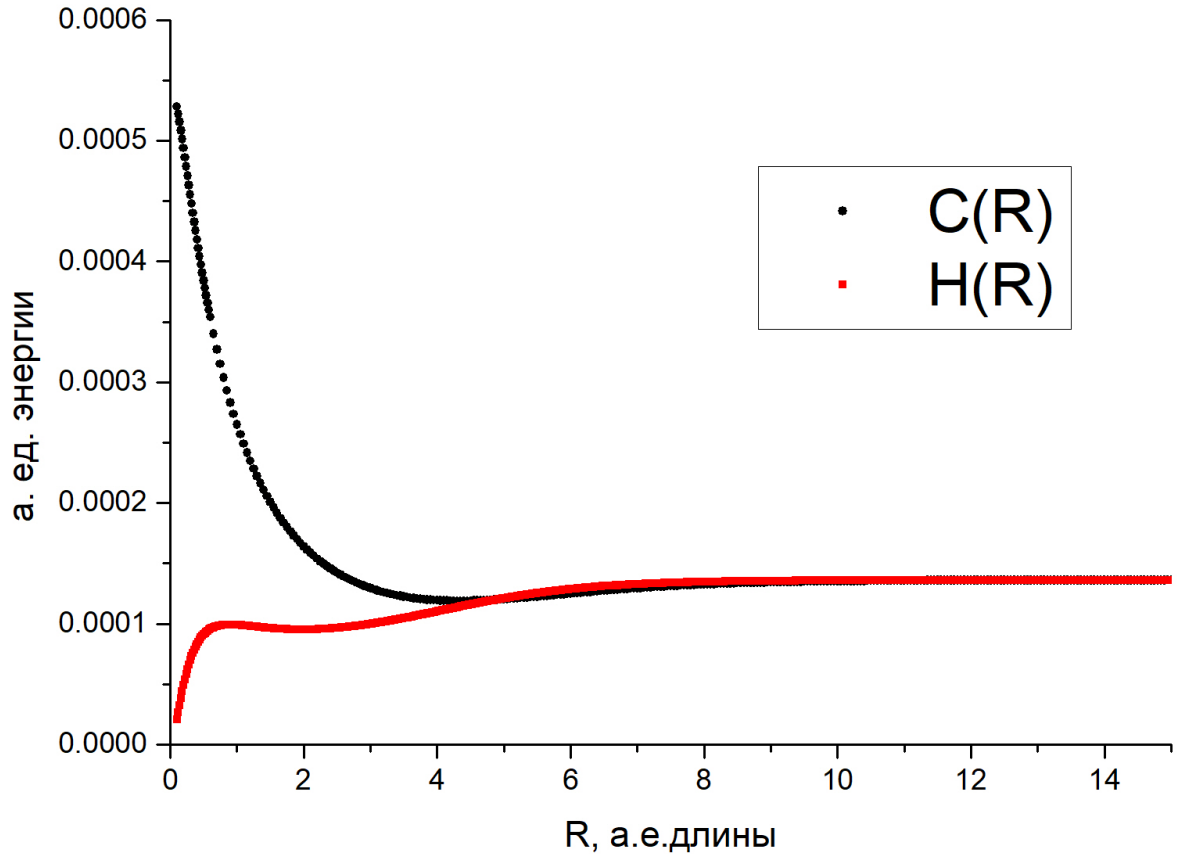


Рис. 2.2. Графики функций $H(R)$ и $C(R)$

Значения терма электрона основного состояния $E_{100}(R)$ при $0.1 \leq R < 15$ вычисляются методом, описанным в первой главе. Они совпадают до 7 знака со значениями, используемыми [16]. Согласно статье [17], в качестве энергий для расстояний $R \geq 15$ можно использовать приближение $E_{100}(R) = -0.5 - 1/R - 9/(4R^2)$, а для $R \leq 0.1$ $E_{100}(R) = -2 + 8/3R^2$.

Собственные значения будут сравниваться со статьёй [16], поэтому значение параметра M выбирается $1836.09/2$. Ограничивая правое краевое условие $R(600) = 0$ и выбирая шаг дискретизации 0.02 , получим спектр для состояний моментами $J = 0$ и $J = 1$ с помощью функции “eigs” в Matlab.

Таблица 2.1. Спектр системы для первых вращательных уровней $J = 0$ и $J = 1$. Значения приводятся до 6 знаков после запятой, так как, предположительно, что погрешность вычисления потенциала вместе с поправками не превышает 10^{-6} .

ν	$J = 0$		$J = 1$	
	данная работа	H. Wind [16]	данная работа	H. Wind
0	-0.597140	-0.59713932	-0.596874	-0.59687398
1	-0.587160	-0.58715483	-0.586908	-0.58690345
2	-0.577762	-0.57775005	-0.577524	-0.57751216
3	-0.568928	-0.56890573	-0.568703	-0.56868092
4	-0.560636	-0.56060565	-0.560426	-0.56039359
5	-0.552881	-0.55283645	-0.552681	-0.55263686
6	-0.545643	-0.54558772	-0.545455	-0.54540041
7	-0.538917	-0.53885193	-0.538742	-0.53867676
8	-0.532698	-0.53262447	-0.532535	-0.53246140
9	-0.526984	-0.52690388	-0.526833	-0.52675294
10	-0.521777	0.52169191	-0.521638	-0.52155322
11	-0.517081	-0.51699381	-0.516954	-0.51686762
12	-0.512904	-0.51281871	-0.512790	-0.51270538
13	-0.509261	-0.50918001	-0.509161	-0.50908006
14	-0.506169	-0.50609594	-0.506083	-0.50601008
15	-0.503652	-0.50359010	-0.503580	-0.50351932
16	-0.501738	-0.50169188	-0.501683	-0.50163753
17	-0.500463	-0.50043456	-0.500426	-0.50039855
18	-0.499850	-0.49983658	-0.499830	-0.49982099
19	-0.499748	-0.49973177	-0.499746	-0.49972943

Как видно из таблицы, нижний уровень совпадает в пределах ожидаемой точности. Для более высоких уровней такого хорошего совпадения нет.

Для иллюстрации того, где локализованы волновые функции, построим графики некоторых из них.

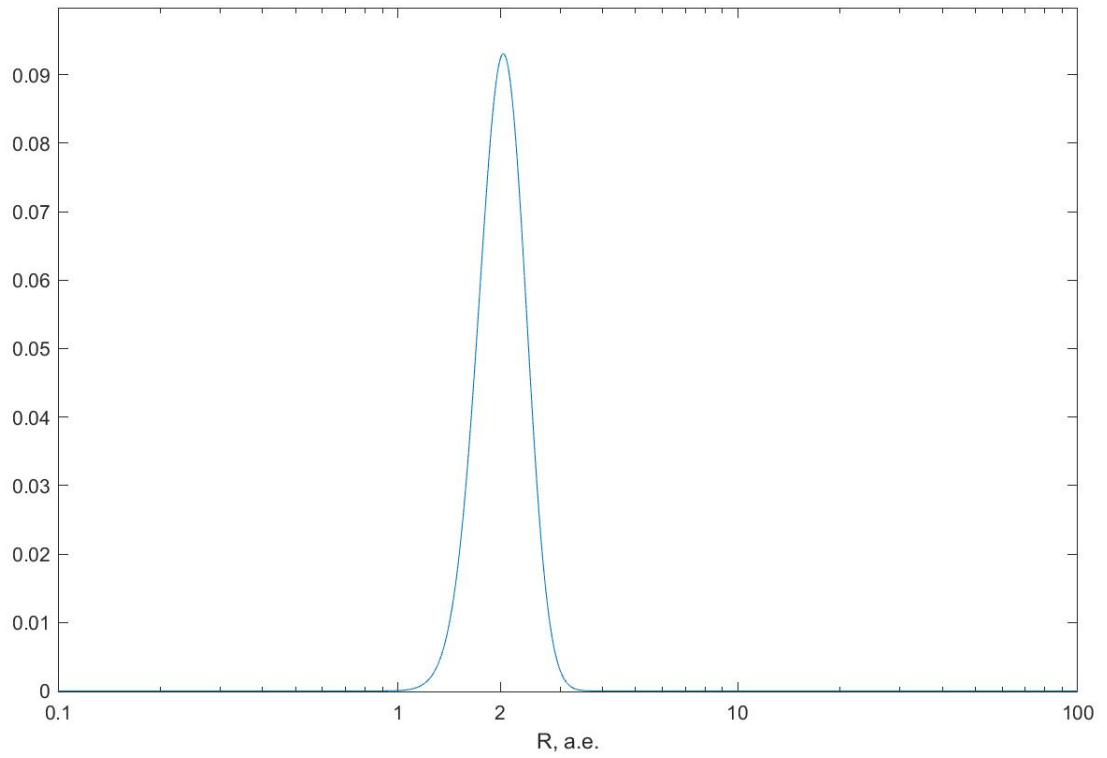


Рис. 2.3. Волновая функция $\chi(R)$ основного состояния для $J = 0$

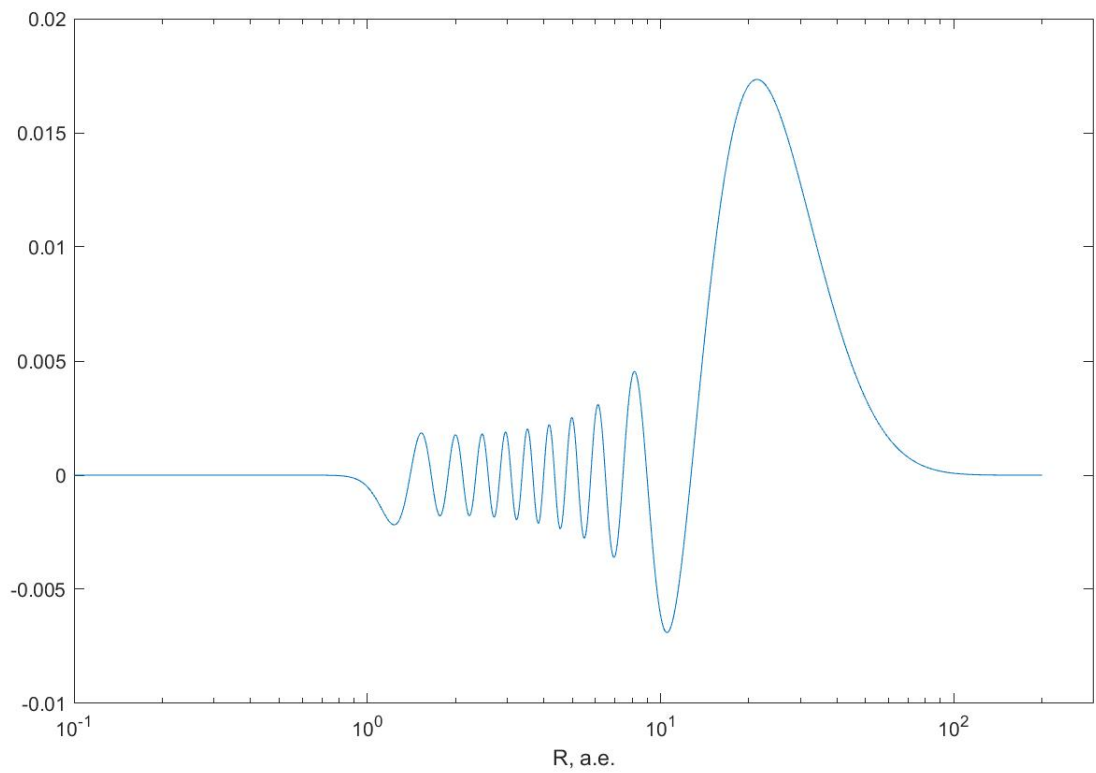


Рис. 2.4. Волновая функция $\chi(R)$ 19 колебательного уровня для $J = 0$

Глава 3

Решение задачи методом конечных элементов

Определим приведённые координаты Якоби \mathbf{x} и \mathbf{y} следующим образом

$$\mathbf{x} = \sqrt{2M} \mathbf{R} \quad (3.1)$$

$$\mathbf{y} = \sqrt{2m} \mathbf{r}, \quad (3.2)$$

где \mathbf{R} , \mathbf{r} , M и r определены ранее (2.3). Выражение для Гамильтониана в соответствующих координатах

$$H = H_0 + V(\mathbf{x}, \mathbf{y}) = -\Delta_{\mathbf{x}} - \Delta_{\mathbf{y}} + V(\mathbf{x}, \mathbf{y}), \quad (3.3)$$

Для исследования свойств симметрии удобно перейти в следующее представление для состояния системы

$$\{\mathbf{x}, \mathbf{y}\} = \{x, y, \theta, \Omega\}, \quad (3.4)$$

где θ - угол между векторами \mathbf{x} и \mathbf{y} , $\Omega = \{\phi, \vartheta, \varphi\}$ - углы Эйлера, характеризующие ориентацию плоскости, содержащей все три частицы, по отношению к неподвижной системе координат.

Свободный гамильтониан H_0 имеет вид [18]

$$H_0 = -\frac{\partial^2}{\partial y^2} - \frac{2}{y} \frac{\partial}{\partial y} - \frac{\partial^2}{\partial x^2} - \frac{2}{x} \frac{\partial}{\partial x} - \left(\frac{1}{y^2} + \frac{1}{x^2} \right) \left(\frac{\partial^2}{\partial \theta^2} + \cot \theta \frac{\partial}{\partial \theta} + \frac{1}{\sin^2 \theta} \frac{\partial^2}{\partial \varphi^2} \right) + \frac{1}{y^2} (\mathbf{J}^2 - \mathbf{K}). \quad (3.5)$$

Здесь оператор \mathbf{K} описывает кориолисово взаимодействие, возникающее из-за вращения трёхчастичной системы как целого [19]

$$\mathbf{K} = -2 \frac{\partial^2}{\partial \varphi^2} + \left\{ \sqrt{2} \frac{\partial}{\partial \vartheta} (\mathbf{J}^+ + \mathbf{J}^-) + \sqrt{2} \cot \vartheta (\mathbf{J}^+ - \mathbf{J}^-) \frac{\partial}{\partial \varphi} \right\}, \quad (3.6)$$

где

$$\mathbf{J}^{\pm} = \frac{i}{\sqrt{2}} e^{\mp i \varphi} \left\{ \pm \cot \vartheta \frac{\partial}{\partial \varphi} + i \frac{\partial}{\partial \vartheta} \mp \frac{1}{\sin \vartheta} \frac{\partial}{\partial \phi} \right\}. \quad (3.7)$$

Со свободным гамильтонианом H_0 коммутируют три оператора:

1. Квадрат полного углового момента \mathbf{J}^2

$$\mathbf{J}^2 = - \left[\frac{\partial^2}{\partial \vartheta^2} + \cot \vartheta \frac{\partial}{\partial \vartheta} + \frac{1}{\sin^2 \vartheta} \left(\frac{\partial^2}{\partial \phi^2} - 2 \cos \vartheta \frac{\partial^2}{\partial \phi \partial \varphi} + \frac{\partial^2}{\partial \varphi^2} \right) \right];$$

2. Проекция полного углового момента на ось лабораторной системы координат \mathbf{J}_z

$$\mathbf{J}_z = -i \frac{\partial}{\partial \phi};$$

3. Оператор полной инверсии координат P

$$P\Psi(x, y, \cos \theta, \phi, \vartheta, \varphi) = \Psi(x, y, \cos \theta, \pi + \phi, \pi - \vartheta, \pi - \varphi).$$

Поскольку потенциал взаимодействия $V(\mathbf{x}, \mathbf{y})$ не зависит от Эйлеровских углов $(\phi, \vartheta, \varphi)$, то эти операторы коммутируют также с полным гамильтонианом H . Следовательно, их собственные функции образуют одинаковые множества. Элементами этого множества являются симметризованные D-функции Вигнера $\mathcal{D}_{MM'}^{J\tau}$:

$$\begin{aligned} \mathbf{J}^2 \mathcal{D}_{MM'}^{J\tau} &= J(J+1) \mathcal{D}_{MM'}^{J\tau}, \quad J = 0, 1, \dots \\ \mathbf{J}_z \mathcal{D}_{MM'}^{J\tau} &= -M \mathcal{D}_{MM'}^{J\tau}, \quad M = -J, \dots, J \\ P \mathcal{D}_{MM'}^{J\tau} &= \tau \mathcal{D}_{MM'}^{J\tau}, \quad \tau = \pm (-1)^J, \end{aligned}$$

которые выражены через стандартные D-функции Вигнера [20] следующим образом

$$\mathcal{D}_{MM'}^{J\tau}(\phi, \theta, \varphi) = \frac{(-1)^M}{\sqrt{2+2\delta_{M'0}}} \left((-1)^M \mathcal{D}_{MM'}^J + \tau (-1)^J \mathcal{D}_{MM'}^J \right). \quad (3.8)$$

Волновая функция системы $\Psi(\mathbf{x}, \mathbf{y})$, характеризующаяся полным угловым моментом J , его проекцией M и чётностью τ , представляется в виде

$$\Psi_M^{J\tau}(\mathbf{x}, \mathbf{y}) = \sum_{M'=0}^J (\mathcal{D}_{MM'}^{J\tau})^*(\phi, \vartheta, \varphi) \psi_{M'}^{J\tau}(x, y, \theta). \quad (3.9)$$

Подстановка представления (3.9) в уравнение Шрёдингера $H\Psi = E\Psi$ и проецирование на D-функции (3.8) даст систему уравнений

$$\sum_{M'=0}^J (H_{MM'}^{J\tau} - E\delta_{MM'}) \psi_{M'}^{J\tau}(x, y, \theta) = 0, \quad M = 0, \dots, J \quad (3.10)$$

Диагональные элементы матричного оператора $H_{MM'}^{J\tau}$ заданы формулами

$$\begin{aligned} H_{MM}^{J\tau} &= (1 + (1/2)(\tau(-1)^J - 1)\delta_{M0}) \times \\ &\times \left[-\frac{1}{x} \frac{\partial^2}{\partial x^2} x - \frac{1}{y} \frac{\partial^2}{\partial y^2} y + \frac{J(J+1) - 2M^2}{y^2} + V(x, y, \theta) - \right. \\ &\quad \left. - \left(\frac{1}{x^2} + \frac{1}{y^2} \right) \left(\frac{\partial^2}{\partial \theta^2} + \cot \theta \frac{\partial}{\partial \theta} - \frac{M^2}{\sin^2 \theta} \right) \right], \quad (3.11) \end{aligned}$$

а внедиагональные компоненты отличны от нуля только если $M' = M + 1$ и равны

$$H_{MM'}^{J\tau} = (1 + (1/2)(\tau(-1)^J - 1)(\delta_{M0} + \delta_{M'0})) \times \\ \times \left[\pm \frac{\sqrt{J(J+1) - M(M \pm 1)}}{y^2} \left(\frac{\partial}{\partial \theta} + (1 \pm M) \cot \theta \right) \right]. \quad (3.12)$$

Система (3.10) в случае положительной чётности $\tau = (-1)^J$ состоит из $(J + 1)$ уравнений, в случае отрицательной чётности состоит из J уравнений, так как $\mathcal{D}_{M0}^{J-} \equiv 0$ и суммирование в (3.9) происходит начиная с $M' = 1$.

Осталось добавить граничные условия. В силу ограниченности полной волновой функции квантовой системы, функции $\psi_{M'}^{J\tau}(x, y, \theta)$ должны быть ограничены про $x = 0$, $y = 0$. В силу квадратичной интегрируемости, требуются условия убывания на бесконечности $\psi_{M'}^{J\tau}(x, y, \theta) = 0$ при $x \rightarrow \infty$ или $y \rightarrow \infty$. По переменной θ граничное условие можно сформулировать следующим образом: функция $\psi_{M'}^{J\tau}(x, y, \theta) / \sin^{M'} \theta$ должна быть ограничена.

3.1. Вариационная формулировка

Для использования метода конечных элементов необходимо переписать уравнение (3.10) в вариационной формулировке. Она формулируется следующим образом [18]: найти $\Psi \in \mathbf{H}^1(x \times y \times \theta)$ такую, что для любой $\tilde{\Psi} \in \mathbf{H}^1(x \times y \times \theta)$ выполняется равенство:

$$\hat{H}(\Psi, \tilde{\Psi}) - E\hat{S}(\Psi, \tilde{\Psi}) = 0. \quad (3.13)$$

Функция Ψ состоит из компонент $\psi_{M'}^{J\tau}$, билинейные формы $\hat{H}(\Psi, \tilde{\Psi})$ и $\hat{S}(\Psi, \tilde{\Psi})$ являются матрицами по индексам компонент. Диагональные матричные элементы равны

$$\hat{H}_{MM}(\Psi, \tilde{\Psi}) = \int dZ \left(\frac{\partial \psi_M^{J\tau}}{\partial x} \frac{\partial \tilde{\psi}_M^{J\tau}}{\partial x} + \frac{\partial \psi_M^{J\tau}}{\partial y} \frac{\partial \tilde{\psi}_M^{J\tau}}{\partial y} + \right. \\ \left. + \left[\frac{J(J+1) - 2M^2}{y^2} + V(x, y, \theta) \right] \psi_M^{J\tau} \tilde{\psi}_M^{J\tau} + \left[\frac{1}{x^2} + \frac{1}{y^2} \right] \left[\frac{\partial \psi_M^{J\tau}}{\partial \theta} \frac{\partial \tilde{\psi}_M^{J\tau}}{\partial \theta} + \psi_M^{J\tau} \tilde{\psi}_M^{J\tau} \frac{M^2}{\sin^2 \theta} \right] \right); \quad (3.14)$$

$$\hat{S}_{MM}(\Psi, \tilde{\Psi}) = \int dZ \psi_M^{J\tau} \tilde{\psi}_M^{J\tau}; \quad (3.15)$$

элементы на верхней и нижней субдиагонали матрицы \hat{H}

$$\hat{H}_{MM\pm 1}(\Psi, \tilde{\Psi}) = \pm \int dZ (H_{MM\pm 1} \psi_M^{J\tau}) \tilde{\psi}_{M\pm 1}^{J\tau}; \quad (3.16)$$

остальные элементы матриц $\hat{H}(\Psi, \tilde{\Psi})$ и $\hat{S}(\Psi, \tilde{\Psi})$ нулевые. Интегрирование в приведённых интегралах ведётся по области $\int_0^\infty dx \int_0^\infty dy \int_0^\pi d\theta$ и $dZ = x^2 y^2 \sin \theta dx dy d\theta$. Исходная система (3.10) таким образом сводится к обобщённой задаче на собственные значения (3.13).

3.2. Результаты вычислений

Решение задачи (3.13) методом конечных элементов выполняется в программе ACESPA (fortran 90). По задаваемым разбиению области, базисным функциям и их количеству вычисляются собственные значения и собственные функции системы. Более подробно о работе программы можно найти в диссертации [18]. На основе результатов, получаемых в предыдущих главах можно определить, где локализована волновая функция и, соответственно, построить оптимальное разбиение области. Для получения наиболее точной энергии основного состояния была подобрана область (3.1)

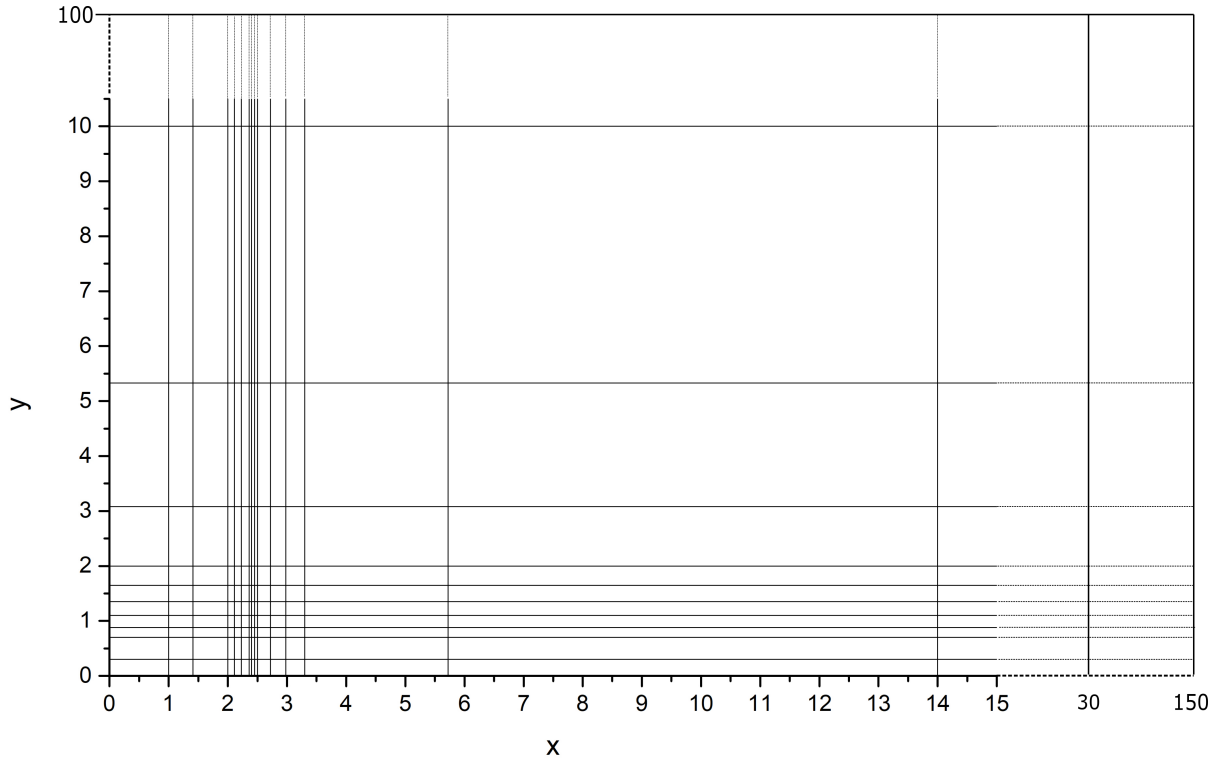


Рис. 3.1. Разбиение плоскости $x - y$ на конечные элементы. По осям отложены неприведённые координаты Якоби.

Таблица 3.1. Сравнение энергий основного состояния.

данная работа	-0.59713
J. Ph. Karr [21]	-0.59713906307939
Korobov V. I. [9]	-0.597139063123405074

Мы ожидаемо получили несколько завышенные значения, так как метод вариационный. Расчёты показали, наиболее сильное влияние оказывает степень полиномов и её погрешность оценивается в 10^{-4} для низких уровней. Для высоких уровней ещё хуже - порядка 10^{-3} а.е.д.

В качестве проверки получаемых волновых функций можно вычислить различные физические величины. В таблице (3.2) приведены результаты вычисления некоторых величин, полученных с помощью квадратурных формул Гаусса - Лежандра.

Таблица 3.2. Сравнение средних величин, полученных для основного состояния. Область интегрирования: $[0, 15] \times [0, 10] \times [-1, 1]$ для неприведённых координат соответственно. Разбиение по каждой из координат осуществляется на 80, 40, 40 точек соответственно.

Величина	на основе в.ф. из аcespa	Bhatia [22]
$\langle 1 \rangle$	0.999994	-
Обратное межъядерное расстояние $\langle 1/R \rangle$	0.491	0.49071
Межъядерное расстояние $\langle R \rangle$	2.064	2.06392
Квадрат межъядерного расстояния $\langle R^2 \rangle$	4.314	4.31097
Квадрат расстояния между центром масс ядер и электроном $\langle r^2 \rangle$	2.481	2.48107
Расстояние от одного из ядер до электрона $\langle r_1 \rangle$	1.693	1.69297

Произведём подсчёты для двадцати колебательных уровней нулевого полного момента. Взято другое разбиение области (3.2). Результат вычисления энергий представлен в таблице 3.3.

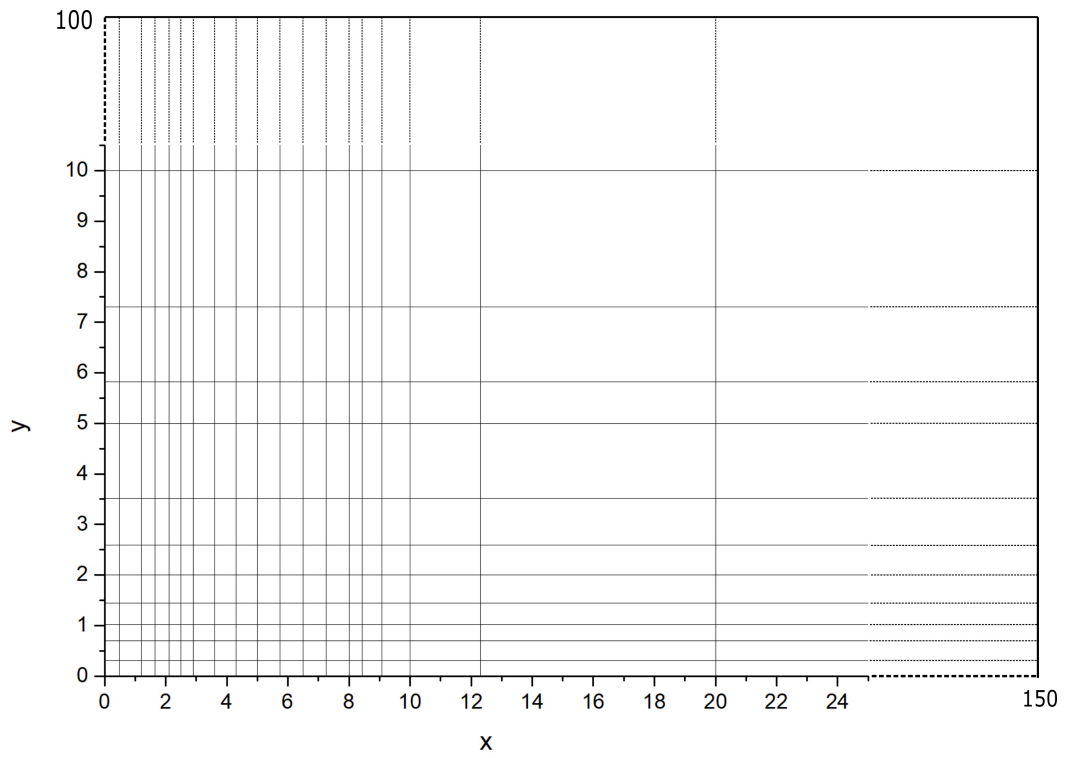


Рис. 3.2. Разбиение плоскости $x - y$ на конечные элементы. По осям отложены неприведённые координаты Якоби.

Таблица 3.3. Сравнение энергий для нулевого полного момента $J=0$

Колебательный уровень ν	данная работа	J. Ph. Carr [21]
0	-0.59711	-0.59713906307939
1	-0.58712	-0.58715567909619
2	-0.57771	-0.57775190441508
3	-0.56886	-0.56890849873086
4	-0.56054	-0.56060922084967
5	-0.55276	-0.55284074989655
6	-0.54551	-0.54559265099383
7	-0.53877	-0.53885738696741
8	-0.53253	-0.53263037935627
9	-0.52679	-0.52691012401632
10	-0.52157	-0.52169836901424
11	-0.51685	-0.51700036527875
12	-0.51261	-0.51282520314556
13	-0.50891	-0.50918624836829
14	-0.50579	-0.50610168096876
15	-0.50323	-0.50359508499922
16	-0.5011	-0.50169577338703
17	-0.4995	-0.50043704046015
18	-0.4986	-0.49983743203023
19	-0.4976	-0.4997312306492

Заключение

Таким образом, в настоящей работе были получены результаты:

- Реализован алгоритм для нахождения энергий и волновых функций задачи двух кулоновских центров, описанный в книге [11]. Сравнение с другим источником показывает (1.1), что точность вычисления энергий на небольших межъядерных расстояниях не хуже 10^{-9} а. ед. Из графического анализа, а также из вычисления различных поправок (во второй главе) на основе волновых функций можно сделать вывод о том, что волновые функции электрона строятся правильно.
- На основе результатов, получаемых данным алгоритмом были вычислены энергии и собственные функции иона водорода H_2^+ с помощью адиабатического разложения. Сравнение показывает, что нижние уровни совпадают с требуемой точностью (10^{-6}), однако вышележащие уровни имеют гораздо большую погрешность.
- Произведены вычисления спектра в программе ACESPA, а также сравнение с результатами из статьи [21]. Можно сделать вывод, что в целом метод даёт правильные результаты, однако получены результаты с меньшей точностью, поскольку вычисления с помощью МКЭ требовательны к ресурсам вычислительной техники. Поэтому можно утверждать, что вычисления с большими вычислительными ресурсами дали бы более точные результаты.

Список литературы

1. Guillemin V. Hydrogen-ion wave function / C. Zener // Proceedings of the National Academy of Sciences, 1929, Vol. 15, p. 314-318.
2. Jaffe G. Zur Theorie des Wasserstoffmolekiilions // Zeitschrift fur Physik, 1934, Vol. 87, p. 535-544.
3. Cohen S. Vibrational States of the Hydrogen Molecular Ion / J. R. Hiskes, R. J. Riddell // Physical Review, 1960, Vol. 119, num 3, p.1025 - 1027.
4. W. Kolos Nonadiabatic Theory for Diatomic Molecules and Its Application to the Hydrogen Molecule / L. Wolniewicz // Review of Modern Physics, 1963, Vol. 35, Num. 3, p. 473-483.
5. L. Wolniewicz The $1s\sigma_g$ and $2p\sigma_u$ states of the H_2^+ , D_2^+ and HD^+ ions / T. Orlikowski // Molecular Physics, 1991, Vol. 74, Num. 1, p. 103-111.
6. Moss R.E. Calculations for the vibration-rotation levels of H_2^+ in its ground and first excited electronic states // Molecular Physics, 1993, Vol. 80, Num. 6, p. 1541-1554.
7. G. G. Balint-Kurti Calculations of vibration-rotation energy levels of HD^+ / R. E. Moss, I. A. Sadler, M. Shapiro // Physical review A, 1990, Vol.41, Num. 9, p. 4913-4921.
8. Hilico L. Ab initio calculation of the $J = 0$ and $J = 1$ states of the H_2^+ , D_2^+ and HD^+ molecular ions / N. Billy, B. Gremaud, D. Delande // European physical journal D, 2000, Vol. 12, p. 449-466.
9. Korobov V. I. Coulomb three-body bound-state problem: Variational calculations of nonrelativistic energies // Physical Review A, 2000, Vol. 61, 064503.
10. Bailey D. H. Universal variational expansion for high-precision bound-state calculations in three-body systems. Applications to weakly bound, adiabatic and two-shell cluster systems / D. H. Bailey and A. M. Frolov // Journal of Physics B: Atomic, Molecular and Optical Physics, 2002, Vol. 35, p. 4287-4298.
11. Комаров И.В. Сфероидальные и кулоновские сфероидальные функции / Комаров И.В., Пономарев Л.И., Славянов С.Ю. - М.: Наука, 1976. - 320 с.
12. Scott T.C. New approach for the electronic energies of the hydrogen molecular ion / M. Aubert-Frecon, J. Grotendorst // Chemical Physics, 2006, Vol. 324, C. 323 - 338.
13. Hadinger G. The Killingbeck method for the one-electron two-centre problem / M. Aubert-Frecon, Gerold Hadinger // Journal of Physics: B Atomic Molecular & Optical Physics, 1989, № 5, C. 697 - 712.
14. R. McCarroll Adiabatic coupling between electronic and nuclear motion in molecules / A. Dalgarno // Proceedings of the Royal Society of London. Series A, 1956, Vol. 237, Num. 1210, p.383-394.
15. Kolos W. Some accurate results for three-particle systems // Acta Physica Academiae Scientiarum Hungaricae, 1969, num 27, p. 241-252.
16. Wind H. Vibrational States of the Hydrogen Molecular Ion // The journal of chemical physics, 1965, Vol. 43, num 9, p.2956 - 2958.

17. Wind H. Electron Energy for H_2^+ in the Ground State // The journal of chemical physics, 1965, Vol. 42, num 7, p.2371 - 2373.
18. Яревский Е. А. Единый аналитический и вычислительный подход к решению квантовой задачи трёх тел: Диссертация на соискание ученой степени доктора физико-математических наук. СПбГУ, Санкт-Петербург, 2017
19. Curtiss C. F. The Separation of the Rotational Coordinates from the N-Particle Schroedinger Equation / Hirschfelder J. O., Adler F. T. // The Journal of Chemical Physics. 1950. Vol. 18, no. 12. P. 1638–1642.
20. Варшалович Д.А. Квантовая теория углового момента / Варшалович Д.А., Москалев А.Н., Херсонский В.К. - Л.:Наука, 1975. - 441 с.
21. J. Ph. Karr High accuracy results for the energy levels of the molecular ions H_2^+ , D_2^+ and HD^+ , up to $J = 2$ / L. Hilico // Journal of Physics B: Atomic, Molecular and Optical Physics, 2006, Vol. 39, p. 2095-2105.
22. Bhatia A. K. Properties of the ground state of the hydrogen molecular ion // Physical review A, 1998, Vol. 58, num 4, 2787-2789.
23. Cohen S. Mu-Mesozoic Molecules. I. Three-Body Problem / D. L. Judd, R. J. Riddell // Physical Review, 1959, Vol. 119, num 1, p.384 - 397.

Приложение А

Алгоритм задачи двух центров

Ниже приведён основной функционал алгоритма.

```

1 //вычисление P[N]/Q_N(N,q,m,p,b,lambda)
2 double fract_for_eta(double p, double b, double lambda)
3 {
4     //постояим последовательность из N+1 элементов rho[] для заданных q, m и p
5     double* rho = build_rho_for_lambda( b, p);
6     //постояим последовательность из N+2 элементов delta[] для заданных q, m и p
7     double* delta = build_delta_for_lambda(b, p);
8
9     //построим массив xi по значению lambda
10    double* chi = new double[N+1];
11    for (int i = 0; i < N+1; i++) chi[i] = (i + m)*(i + m + 1) - lambda;
12
13    double P[2], Q[2];
14
15    P[-1 + OFFSET2] = 1;
16    P[-2 + OFFSET2] = chi[0];
17    Q[-1 + OFFSET2] = 0;
18    Q[-2 + OFFSET2] = 1;
19    for (int i = 1; i <= N; i++)
20    {
21        P[i \% 2] = P[(i + 1) \% 2] * chi[i] - P[i \% 2] * delta[i] * rho[i -
22            1];
23        Q[i \% 2] = Q[(i + 1) \% 2] * chi[i] - Q[i \% 2] * delta[i] * rho[i -
24            1];
25        if (abs(P[i \% 2]) > 1E120 || abs(Q[i \% 2]) > 1E120)
26        {
27            P[0] *= 1E-120;
28            P[1] *= 1E-120;
29            Q[0] *= 1E-120;
30            Q[1] *= 1E-120;
31        }
32    }
33    delete [] rho;
34    delete [] delta;
35    delete [] chi;
36    return P[N \% 2]/ sqrt(1 + Q[N \% 2] * Q[N \% 2]);
37 }
38 //постояние последовательности из N элементов rho[] для заданных q, m и p
39 double* build_rho_for_lambda(double b, double p)
40 {

```

```

40     double* rho = new double[N + 1];
41     for (int i = 0; i < N+1; i++) rho[i] = (i + 2 * m + 1) * (b - 2 * p*(i + m +
        1)) / (2 * (i + m) + 3);
42     return rho;
43 }
44
45 //построение последовательности из N элементов rho[] для заданных q, m и p
46 double* build_delta_for_lambda(double b, double p)
47 {
48     double* delta = new double[N + 1];
49     for (int i = 0; i < N+1; i++) delta[i] = (i) * (b + 2 * p*(i + m)) / (2 * (i
        + m) - 1);
50     return delta;
51 }
52
53 // build_rho, build_delta, build_chi отличаются от тех же с _for_lambda
54 // sign, чтобы использовать те же коэфф для c_i и c'_i
55 double* build_rho(double b, double p, int sign)
56 {
57     double* rho = new double[N + 1];
58     for (int i = 0; i < N + 1; i++) rho[i] = 2 * (i+1) * (i+m+1);
59     return rho;
60 }
61
62 double* build_delta(double b, double p, int sign)
63 {
64     double* delta = new double[N + 1];
65     for (unsigned i = 0; i < N + 1; i++) delta[i] = sign * b + 2*p*(i+m);
66     return delta;
67 }
68
69 double* build_chi(double b, double p, double lambda, int sign)
70 {
71     double* chi = new double[N + 1];
72     for (int i = 0; i < N + 1; i++) chi[i] = i*(i+1) + (2*i+m+1)*(2*p+m) + sign
        * b - lambda;
73     return chi;
74 }
75
76 //нахождение лямбда, удовлетворяющее ур-ию P/Q(0, a или b, lambda) = 0 вблизи
    begin_lambda
77 double find_lambda_from_b_for_eta_near(double b, double begin_lambda)
78 {
79     if (fract_for_eta(0, b, begin_lambda) == 0) return begin_lambda;
80     double step_l = 0.0005;
81     bool sign = (fract_for_eta(0, b, begin_lambda) > 0);
82     double left_l = begin_lambda;

```

```

83     double right_l = begin_lambda;
84     do
85     {
86         left_l -= step_l;
87         right_l += step_l;
88     } while (fract_for_eta(0, b, left_l) > 0 == sign && fract_for_eta(0, b,
89         right_l) > 0 == sign);
90     if (fract_for_eta(0, b, left_l) > 0 != sign) begin_lambda =
91         dividing_section_for_eta(0, b, left_l, left_l + step_l, !sign);
92     else begin_lambda = dividing_section_for_eta(0, b, right_l - step_l, right_l
93         , sign);
94     return begin_lambda;
95 }
96
97 double find_lambda_from_a_for_xi_near(double p, double a, double begin_lambda)
98 {
99     double step_l = 0.1 > abs(begin_lambda)*5E-4 ? 0.1 : abs(begin_lambda)*5E-4;
100    bool sign = (fract_for_xi(p, a, begin_lambda - step_l) > 0);
101    double right_l = begin_lambda;
102    do
103    {
104        right_l += step_l;
105    } while (fract_for_xi(p, a, right_l) > 0 == sign);
106    return dividing_section_for_xi(p, a, right_l - step_l, right_l, sign);
107 }
108
109 double dividing_section_for_xi(double p, double a, double left, double right,
110     bool sign)
111 {
112     do
113     {
114         double center = (right + left) / 2;
115         double val_center = fract_for_xi(p, a, center);
116         if ((right - left) / abs(center) < 1E-15) return center;
117         else if (val_center > 0 == sign) left = center;
118         else right = center;
119     } while (true);
120 }
121
122 //нахождение корня на отрезке [left, right](если знак полинома на левой стороне
123     равен sign) методом деления пополам
124 double dividing_section_for_eta(double p, double b, double left, double right,
125     bool sign)
126 {
127     do

```

```

124     {
125         double center = (right + left) / 2;
126         double val_center = fract_for_eta(p, b, center);
127         if (floor(val_center * 1E10) / 1E10 == 0 || (right - left) / abs(center)
            < 1E-13) return center;
128         else if (val_center > 0 == sign) left = center;
129         else right = center;
130     } while (true);
131 }
132
133 //для радиальной функции \Pi(p,a,lambda)
134 double* build_alpha_for_lambda(double a, double p)
135 {
136     double* alpha = new double[N + 1];
137     for (unsigned i = 0; i < N + 1; i++) alpha[i] = (i + 1)*(i + m + 1);
138     return alpha;
139 }
140
141 double* build_gamma_for_lambda(double a, double p)
142 {
143     double* gamma = new double[N + 1];
144     double sigma = (a / 2) / p - (m + 1);
145     for (int i = 0; i < N + 1; i++) gamma[i] = (i-1-sigma)*(i-m-1-sigma);
146     return gamma;
147 }
148
149 double* build_gamma_right(double a, double p)
150 {
151     double* gamma = new double[N + 1];
152     double sigma = (a / 2) / p - (m + 1);
153     for (int i = 0; i < N + 1; i++) gamma[i] = -(i - 1) * (i - 2 * sigma + m -
        3) + sigma * (sigma + m);
154     return gamma;
155 }
156
157 //для вычисления волновой функции рядом с полиномами Лагерра
158 double* build_alpha_Lagerr(double a, double p)
159 {
160     double* alpha = new double[N + 1];
161     double sigma = (a / 2) / p - (m + 1);
162     for (int i = 0; i < N + 1; i++) alpha[i] = (i + m + 1)*(i - m - sigma);
163     return alpha;
164 }
165
166 double* build_gamma_Lagerr(double a, double p)
167 {
168     double* gamma = new double[N + 1];

```

```

169     double sigma = (a / 2) / p - (m + 1);
170     for (int i = 0; i < N + 1; i++) gamma[i] = i * (i - 1 - sigma);
171     return gamma;
172 }
173
174 //вычисление P_N/Q_N(N,k,m,p,a,lambda)
175 double fract_for_xi(double p, double a, double lambda)
176 {
177     //постоим последовательность из N+1 элементов rho[] для заданных k, m, a и p
178     double* alpha = build_alpha_for_lambda(a, p);
179     //постоим последовательность из N+2 элементов delta[] для заданных k, m, a и
180     p
181     double* gamma = build_gamma_for_lambda(a, p);
182     //построим массив beta по значению lambda
183     double* beta = build_beta(a, p, lambda);
184     double P[2], Q[2];
185     P[-1 + OFFSET2] = 1;
186     P[-2 + OFFSET2] = beta[0];
187     Q[-1 + OFFSET2] = 0;
188     Q[-2 + OFFSET2] = 1;
189     for (unsigned i = 1; i <= N; i++)
190     {
191         P[i \% 2] = (P[(i + 1) \% 2] * beta[i] - P[i \% 2] * alpha[i - 1] *
192             gamma[i]);
193         Q[i \% 2] = (Q[(i + 1) \% 2] * beta[i] - Q[i \% 2] * alpha[i - 1] * gamma
194             [i]);
195         if (abs(P[i \% 2]) > 1E120 || abs(Q[i \% 2]) > 1E120)
196         {
197             P[0] *= 1E-120;
198             P[1] *= 1E-120;
199             Q[0] *= 1E-120;
200             Q[1] *= 1E-120;
201         }
202     }
203     delete [] alpha;
204     delete [] gamma;
205     delete [] beta;
206     return P[N \% 2]/sqrt(1 + Q[N \% 2]* Q[N \% 2]);
207 }
208
209 double* build_beta(double a, double p, double lambda)
210 {
211     double* beta = new double[N + 1];
212     double sigma = (a / (2 * p)) - (m + 1);
213     for (int i = 0; i < N + 1; i++) beta[i] = 2 * i*(i + 2 * p - sigma) - (m +
214         sigma)*(m + 1) - 2 * p*sigma + lambda;
215     return beta;

```

```

212 }
213 //начальное p из теории возмущений
214 double p_from_perturbation_theory(double r)
215 {
216     int Z = Z1 + Z2;
217     int l = q + m;
218     int N = l + k + 1;
219     double E;
220     if (l == 0) E = -(Z*Z / (2 * (double)N*N) + 2 * Z1*Z2*(l + 1) / (double)(N*N
        *N * (l + 1)*(2 * l - 1)*(2 * l + 1)*(2 * l + 3))*Z*Z*r*r);
221     else E = -(Z*Z / (2 * (double)N*N) + 2 * Z1*Z2*(l*(l + 1) - 3 * m*m) / (
        double)(N*N*N * l*(l + 1)*(2 * l - 1)*(2 * l + 1)*(2 * l + 3))*Z*Z*r*r);
222     double p = sqrt(-E*r*r/2.0);
223     return p;
224 }
225
226 //находим начальное lambda для p из теории возмущений(ZR = 0.1)
227 double find_begin_lambda()
228 {
229     double r = 0.1 / (Z1 + Z2);
230     double b = r * (Z2 - Z1);
231     double lambda = find_lambda_for_b_for_eta(b); //нашли lambda при p = 0
232     double p = p_from_perturbation_theory(r);
233     lambda = find_lambda_from_p_for_eta_near(p, b, lambda);
234     return lambda;
235 }
236
237 //решение системы уравнений alpha_k * c_{k+1} - beta_k * c_k + gamma_k * c_{k-1} = 0
238 vector<double> solve_system_equations(double alpha[], double beta[], double
    gamma[])
239 {
240     vector<double> koef;
241     koef.push_back(1);
242     koef.push_back(beta[0] / alpha[0] * koef[0]);
243     for (int i = 2; i <= N; i++)
244     {
245         koef.push_back((beta[i - 1] * koef[i - 1] - gamma[i - 1] * koef[i -
            2]) / alpha[i - 1]);
246     }
247     return koef;
248 }
249
250 void calculate_koeff_for_angular_function(double b, double p, double end_lambda,
    vector<double>& c1, vector<double>& c2)
251 {
252     //cout << "Koeff for angular function on segment (0,1)" << endl;
253     double * gamma = build_delta(b, p);

```

```

254     double * beta = build_chi(b, p, end_lambda);
255     double * alpha = build_rho(b, p);
256     c1 = solve_system_equations(alpha, beta, gamma);
257     double norm1 = 0; //нормирующий коэффициент, чтобы в нуле суммы
        коэффициентов совпадали
258     int size = c1.size();
259     for (int i = 0 ; i < size; ++i)
260     {
261         norm1 += c1[i];
262     }
263     delete [] alpha;
264     delete [] beta;
265     delete [] gamma;
266
267     //cout << "Koeff for angular function on segment (-1,0)" << endl;
268     double * delta = build_delta(b, p, -1);
269     double * chi = build_chi(b, p, end_lambda, -1);
270     double * rho = build_rho(b, p, -1);
271     c2 = solve_system_equations(rho, chi, delta);
272     double norm2 = 0;
273     size = c2.size();
274     for (int i = 0 ; i < size; ++i)
275     {
276         norm2 += c2[i];
277     }
278     // нормируем c'_i
279     norm1 /= norm2;
280     for (int i = 0 ; i < size; ++i)
281     {
282         c2[i] *= norm1;
283     }
284     delete [] rho;
285     delete [] chi;
286     delete [] delta;
287 }
288
289 void calculate_koeff_for_radial_function(double a, double p, double end_lambda,
        vector<double>& g)
290 {
291     double * alpha = build_alpha_for_lambda(a, p);
292     double * beta = build_beta(a, p, end_lambda);
293     double * gamma = build_gamma_for_lambda(a, p);
294     g = solve_system_equations(alpha, beta, gamma);
295     curtail_vector(g);
296     delete [] alpha;
297     delete [] beta;
298     delete [] gamma;

```



```

299 }
300
301 double build_Psi(params_for_Psi& par, double x, double z)
302 {
303     double p(par.p), a(par.a);
304     const vector <double> &c1(par.c1), &c2(par.c2), &g(par.g);
305     double R = par.R;
306     x = abs(x);
307     double xi, eta;
308     double sigma = (a / (2 * p)) - (m + 1);
309     double r1(sqrt(x*x + (R / 2 + z)*(R / 2 + z))), r2(sqrt(x*x + (-R / 2 + z)
        *(-R / 2 + z)));
310     xi = (r1 + r2) / R;
311     eta = (r1 - r2) / R;
312     if (abs(eta*R / r1) < 1E-15) eta = 0;
313     if (abs(eta) > 1) eta = (eta > 0 ? 1 : -1);
314     if (xi < 1) xi = 1; // связана с неточностью вычисления
315     const vector <double>& c = (eta > 0 ? c2 : c1);
316     return part_xi(p, xi, sigma, g) * part_eta(p, eta, c);
317 }
318
319 //переводит из сферических в x и z
320 double build_Psi_spher(params_for_Psi& par, double r, double theta, double
    vShift)
321 {
322     return build_Psi(par, r * sin(theta), r * cos(theta) + vShift);
323 }
324
325 //значение части волновой функции, зависящая от xi
326 double part_xi(double p, double xi, double sigma, const vector <double>& g)
327 {
328     double x = (xi-1)/(xi+1);
329     //double x = 2*p*(xi-1);
330     double sum = 0; //сумма ряда
331     for (int i = 0; i < /*10*/g.size(); ++i)
332     {
333         sum += g[i] * pow(x, i);
334     }
335     return pow(xi*xi - 1, m / 2.0) * exp(-p*(xi - 1)) * pow(xi+1, sigma) * sum;
336 }
337 //значение части волновой функции, зависящая от eta>0
338 double part_eta(double p, double eta, const vector <double>& c)
339 {
340     double sum = 0; //сумма ряда
341     eta = abs(eta); //для корректности следующих формул
342     for (int i = 0; i < c.size(); ++i) sum += c[i] * pow(1-eta, i);
343     return pow(1-eta*eta, m/2.0) * exp(-p*(1-eta)) * sum;

```

```

344 }
345
346 void find_energy_and_wave(double begin_p, coefficients& wave, double& Energy,
    double& Parameter, double& a)
347 {
348     double lambda_a, lambda_b, b, p; //a понадобится вне
349     a = R * (Z1 + Z2);
350     b = R * (Z2 - Z1);
351     double begin_lambda = find_begin_lambda();
352     thread thra(find_lambda_for_a_for_xi, ref(lambda_a), begin_p, a,
        begin_lambda, 0.001);
353     lambda_b = find_lambda_for_b_for_eta(b, 0.0005); //здесь p=0
354     lambda_b = find_lambda_from_p_for_eta(begin_p, b, lambda_b - 0.0005);
355     thra.join();
356
357     double end_lambda = lambda_b;
358     p = dividing_section_for_p(begin_p, a, b, lambda_a, lambda_b, end_lambda);
359     double E = -2 * p*p / (R*R);
360     Energy = E;
361     Parameter = p;
362     //вычисляем коэффициенты c_i и c'_i для угловой части волновой функции
363     calculate_koeff_for_angular_function(b, p, end_lambda, wave.c1, wave.c2);
364
365     //вычисляем коэффициенты g_i для радиальной части волновой функции
366     calculate_koeff_for_radial_function(a, p, end_lambda, wave.g);
367 }

```

Приложение Б

Фрагменты кода для вычисления функций $C(R)$ и $H(R)$

Содержимое главного файла

```

1 #pragma once
2 #include "stdafx.h"
3 #include "functions.h"
4 using namespace std;
5 int Z1, Z2, k, q, m, N;
6 double R;
7
8 int main()
9 {
10     double R_max, R_min, h;
11     bool inversion = false;
12     Z1 = Z2 = 1;
13     correctInput(R_min, []() {string str = "Input_min_R>"; return str +
        to_string(0.1 / abs(Z1 + Z2)); }(), [(wchar_t* input) {return ((wcstod(
        input, NULL) <= 0.1 / abs(Z1 + Z2))); }]);
14     correctInput(R_max, "Input_max_R>" + to_string(R_min), [(wchar_t*
        input) {return ((wcstod(input, NULL) <= R_min)); }]);
15     cout << "Input_step_dR=_";
16     cin >> h;
17
18     correctInput(N, "Input_main_quantum_number_N>0", [(wchar_t* input) {return
        (!(isPosInt(input)) || (_wtoi(input) <= 0)); }]); //главное кв число
19     correctInput(q, "Input_orbital_quantum_number_l>=0", [(wchar_t* input) {
        return (!(isPosInt(input)) || (_wtoi(input) < 0)); }]); //орбит кв число
20     k = N - 1 - q;
21     correctInput(m, []() {string str = "Input_magnetic_quantum_number_m<=";
        return str + to_string(q); }(), [(wchar_t* input) {return (!(isPosInt(
        input)) || (_wtoi(input) < 0) || (_wtoi(input) > q)); }]);
22     q = q - m;
23
24     N = 70;
25     double r = 0.1 / (Z1 + Z2); // для теории возмущений
26     double begin_p = p_from_perturbation_theory(r);
27     double max_r;
28     cout << "Take_size_of_field_for_integration\n";
29     cout << "Type_max_r=_"; cin >> max_r;
30
31     int j = static_cast<int>((R_max - R_min) / h) + 1; // j = всего точек, дл
        якаждой из них будут вычисляться параметры для вычисления волновой
        функции
32     vector<koefficients> koeff(j);

```

```

33     vector<double> Energies(j);
34     vector<double> Parameters(j);
35     vector<double> A(j);
36     vector<double> Dist(j);
37     for (int i = 0; i < j; ++i)
38     {
39         Dist[i] = R_min + i * h;
40         R = Dist[i];
41         find_energy_and_wave(begin_p, koef[i], Energies[i], Parameters[i], A[i]
42                               );
43
44         //вычисляем интеграл от квадрата волновой функции
45         funct<square_struct<params_for_Psi>> func = squarer;
46         square_struct<params_for_Psi> params = { build_Psi_spher, params_for_Psi
47           ({Dist[i], Parameters[i], A[i], koef[i].c1, koef[i].c2, koef[i].g
48             }) });
49         double integr = gsl_integral<square_struct<params_for_Psi>>(func, 0,
50           max_r, 0, M_PI, params, 1000);
51         cout << "Integral_in_R=" << R << "_equals_" << integr << '\n';
52         //нормировка волновой функции на единицу
53         for_each(koef[i].g.begin(), koef[i].g.end(), [integr](double& g){g = g
54           /sqrt(integr)});
55     }
56     ofstream fout;
57     fout.open("D:\\Диплом\\adiaбатическое_разложение\\Задача_двух_кулоновских_
58             центров\\результаты\\" + create_name(R_min, h, R_max) + ".csv", ios_base
59             ::out);
60     if (!fout.is_open())
61         cout << "file_isnt_open" << endl;
62     else
63     {
64         fout << "R,E,C,H,L_2,sum\n";
65
66         for (int i = 2; i < j - 2; ++i)
67         {
68             //нужно взять интеграл от Psi * (оператор лапласа от)Psi по всему
69             двумерному пространству (=C1(R))
70             //он заменяется на интеграл от psi^2 *(-2*E - 2*Z1/r1 - 2*Z2/r2)
71             //берём интеграл интеграл от psi^2/r1. Переходим в полярные
72             координаты с центром в точке, где находится Z1, и получаем
73             //интеграл от psi^2 * theta dr dtheta.
74             R = R_min + i * h;
75             double integr1 = -2 * Energies[i];
76             funct<two_param_struct<square_struct<params_for_Psi>,
77                 struct_for_Columb_pot>> func1 = multiplier;
78             two_param_struct<square_struct<params_for_Psi>,
79                 struct_for_Columb_pot> params1 = { squarer, columb_pot,

```

```

        square_struct<params_for_Psi>({build_Psi_spher, params_for_Psi({
            Dist[i], Parameters[i], A[i], koef[i].c1, koef[i].c2, koef[i].
            g })), struct_for_Columb_pot({}) });
69     integr1 += -2 * Z2 * gsl_integral(func1, 0, max_r, 0, M_PI, params1,
            100000, R / 2);
70     integr1 += -2 * Z1 * gsl_integral(func1, 0, max_r, 0, M_PI, params1,
            100000, -R / 2);
71     integr1 = integr1 / 4;
72
73     //интеграл от второй производной
74     funct<two_param_struct<params_for_Psi, params_for_derivative_Psi>>
            func2 = multiplier;
75     two_param_struct<params_for_Psi, params_for_derivative_Psi> params2
            = { build_Psi_spher, my_second_derivative_Psi_3, params_for_Psi{
            Dist[i], Parameters[i], A[i], koef[i].c1, koef[i].c2, koef[i].
            g } , params_for_derivative_Psi({ i, h, koef, Parameters, A,
            Dist }) };
76     double integr2 = gsl_integral(func2, 0, max_r, 0, M_PI, params2,
            1000000, 0);
77     funct<two_param_struct<params_for_Psi, params_for_L_y>> func3 =
            multiplier;
78     two_param_struct<params_for_Psi, params_for_L_y> params3 = {
            build_Psi_spher, squareAngularMomentum_theta, params_for_Psi{
            Dist[i], Parameters[i], A[i], koef[i].c1, koef[i].c2, koef[i].
            g } , params_for_L_y{ params_for_Psi{ Dist[i], Parameters[i], A[i]
            ], koef[i].c1, koef[i].c2, koef[i].g }, 0.001 } };
79     double integr3 = gsl_integral(func3, 0, max_r, 0, M_PI, params3,
            1000000, 0);
80     integr3 = -integr3 / (R * R);
81     integr2 += integr3;
82     cout << R << ', ' << setprecision(10) << Energies[i] << ', ' << -
            integr1 << ', ' << integr2 << integr2 - integr1 << setprecision(ss
            ) << '\n';
83     fout << R << ', ' << setprecision(10) << Energies[i] << ', ' << -
            integr1 << ', ' << integr2 << integr2 - integr1 << setprecision(ss
            ) << '\n';
84     }
85     fout.close();
86     }
87     system("pause");
88     return 0;
89 }

```

Основные фрагменты из файла «functions.h»

```

1 #pragma once
2 #include "gsl/gsl_integration.h"
3 #include "gsl/gsl_deriv.h"

```

```

4 extern int Z1, Z2, k, q, m, N;
5 extern double R;
6
7 using namespace std;
8 struct coefficients
9 {
10     coefficients() : c1(N), c2(N), g(N) {};
11     vector<double> c1, c2, g;
12 };
13 template<typename parameters>
14 using funct = double (*)(parameters&, double r, double z, double vShift);
15 //все параметры для Psi, кроме r и z
16 struct params_for_Psi
17 {
18     double R;
19     double p, a;
20     const vector <double> &c1, &c2, &g;
21 };
22
23 //структура для передачи параметров при интегрировании по r
24 template<typename parameters>
25 struct gsl_struct_first
26 {
27     funct<parameters> func;
28     parameters& par;
29     double z;
30     double vShift;
31 };
32
33 template<typename parameters1, typename parameters2>
34 struct two_param_struct
35 {
36     funct<parameters1> func1;
37     funct<parameters2> func2;
38     parameters1& par1;
39     parameters2& par2;
40 };
41
42 //интегрировании по theta
43 template<typename parameters>
44 struct gsl_struct_second
45 {
46     funct<parameters> func;
47     double min_r;
48     double max_r;
49     parameters& par;
50     int count;

```

```

51     double vShift;
52 };
53
54 //подынтегральная функция одномерного интеграла
55 template<typename parameters>
56 double gsl_integrand_first(double r, void* param)
57 {
58     gsl_struct_first<parameters>* par = static_cast<gsl_struct_first<parameters
59         >*>(param);
60     double res = (par->func)(par->par, r, par->z, par->vShift)*r*r;
61     return res;
62 }
63 template<typename parameters>
64 struct square_struct
65 {
66     funct<parameters> func;
67     parameters& par;
68     double vShift;
69 };
70
71 //возводит в квадрат
72 template<typename parameters>
73 double squarer(parameters par, double r, double z, double vShift = 0)
74 {
75     double res = (par.func)(par.par, r, z, vShift);
76     return res * res;
77 }
78
79 //когда под интегралом умножение функций func1 и func2 с параметрами par1 и par2
80 template<typename parameters1, typename parameters2>
81 double multiplier(two_param_struct<parameters1, parameters2>& param, double r,
82     double theta, double vShift = 0)
83 {
84     double res1 = (param.func1)(param.par1, r, theta, vShift);
85     double res2 = (param.func2)(param.par2, r, theta, vShift);
86     return res1 * res2;
87 }
88 //интеграл по отрезку от min_r до max_r
89 template<typename parameters>
90 double gsl_integral_r(funct<parameters> func, double min_r, double max_r,
91     parameters& par, double theta, int count, double vShift = 0)
92 {
93     double res, err;
94     gsl_function F;
95     F.function = &gsl_integrand_first<parameters>;
96     gsl_struct_first<parameters> params = { func, par, theta, vShift };

```

```

95     F.params = &params;
96     gsl_integration_workspace* workspace = gsl_integration_workspace_alloc(count
97         );
98     gsl_integration_qag(&F, min_r, max_r, 0.0001, .01, count, 1, workspace, &res
99         , &err);
100    gsl_integration_workspace_free(workspace);
101    return res;
102 }
103 //функция, связывающая двумерный интеграл с одномерным
104 template<typename parameters>
105 double gsl_integral_theta(double theta, void* params)
106 {
107     gsl_struct_second<parameters>* par = static_cast<gsl_struct_second<
108         parameters*>>(params);
109     return gsl_integral_r(par->func, par->min_r, par->max_r, par->par, theta,
110         par->count, par->vShift)*sin(theta);
111 }
112 template<typename parameters>
113 double gsl_integral(func<parameters> func, double min_r, double max_r, double
114     min_theta, double max_theta, parameters& par, int count, double vShift = 0)//
115     verticalShift - сдвиг по вертикали
116 {
117     double res, err;
118     gsl_function F;
119     F.function = &gsl_integral_theta<parameters>;
120     gsl_struct_second<parameters> params = { func, min_r, max_r, par, count,
121         vShift };
122     F.params = &params;
123     gsl_integration_workspace* workspace = gsl_integration_workspace_alloc(count
124         );
125     gsl_integration_qag(&F, min_theta, max_theta, 0.0001, .01, count, 1,
126         workspace, &res, &err);
127     gsl_integration_workspace_free(workspace);
128     return res;
129 }
130 //все параметры для производной Psi по R, кроме r и z
131 struct params_for_derivative_Psi
132 {
133     int i; double h;
134     vector<koefficients>& koeff;
135     vector<double>& Parameters;
136     vector<double>& A;
137     vector<double>& Dist;
138 };

```



```

133
134 //для производной от любой функции
135 template<typename parameters>
136 struct params_for_derivative_5
137 {
138     funct<parameters> func;
139     parameters& par_minus_two;
140     parameters& par_minus_one;
141     parameters& par_zero;
142     parameters& par_plus_one;
143     parameters& par_plus_two;
144     double h;
145 };
146 template<typename parameters>
147 double my_derivative_5(params_for_derivative_5<parameters>& par, double r,
148     double theta, double vShift = 0)
149 {
150     double minus_two = par.func(par.par_minus_two, r, theta, vShift);
151     double minus_one = par.func(par.par_minus_one, r, theta, vShift);
152     double zero = par.func(par.par_zero, r, theta, vShift);
153     double plus_one = par.func(par.par_plus_one, r, theta, vShift);
154     double plus_two = par.func(par.par_plus_two, r, theta, vShift);
155     return (minus_two - 8 * minus_one + 8 * plus_one - plus_two) / (12 * par.h);
156 }
157 struct struct_for_Columb_pot {};
158 double columb_pot(struct_for_Columb_pot&, double r, double theta, double vShift)
159     ;

```

Основные фрагменты из файла «functions.cpp»

```

1 double my_derivative_Psi_5(params_for_derivative_Psi& par, double r, double
2     theta, double vShift)
3 {
4     double minus_two = build_Psi_spher(params_for_Psi{ par.Dist[par.i - 2], (par
5         .Parameters)[par.i - 2], par.A[par.i - 2], (par.koeff)[par.i - 2].c1, (
6         par.koeff)[par.i - 2].c2, (par.koeff)[par.i - 2].g }, r, theta, vShift);
7     double minus_one = build_Psi_spher(params_for_Psi{ par.Dist[par.i - 1], (par
8         .Parameters)[par.i - 1], par.A[par.i - 1], (par.koeff)[par.i - 1].c1, (
9         par.koeff)[par.i - 1].c2, (par.koeff)[par.i - 1].g }, r, theta, vShift);
10    double plus_one = build_Psi_spher(params_for_Psi{ par.Dist[par.i + 1], (par
11        .Parameters)[par.i + 1], par.A[par.i + 1], (par.koeff)[par.i + 1].c1, (par
12        .koeff)[par.i + 1].c2, (par.koeff)[par.i + 1].g }, r, theta, vShift);
13    double plus_two = build_Psi_spher(params_for_Psi{ par.Dist[par.i + 2], (par
14        .Parameters)[par.i + 2], par.A[par.i + 2], (par.koeff)[par.i + 2].c1, (par
15        .koeff)[par.i + 2].c2, (par.koeff)[par.i + 2].g }, r, theta, vShift);
16    return (minus_two - 8 * minus_one + 8 * plus_one - plus_two) / (12 * par.h);
17 }
18 double my_second_derivative_Psi_3(params_for_derivative_Psi& par, double r,

```

```

double theta, double vShift)
10 {
11     double minus_one = build_Psi_spher(params_for_Psi{ par.Dist[par.i - 1], (par
        .Parameters)[par.i - 1], par.A[par.i - 1], (par.koeff)[par.i - 1].c1, (
        par.koeff)[par.i - 1].c2, (par.koeff)[par.i - 1].g }, r, theta, vShift);
12     double zero = build_Psi_spher(params_for_Psi{ par.Dist[par.i], (par.
        Parameters)[par.i], par.A[par.i], (par.koeff)[par.i].c1, (par.koeff)[par.
        i].c2, (par.koeff)[par.i].g }, r, theta, vShift);
13     double plus_one = build_Psi_spher(params_for_Psi{ par.Dist[par.i + 1], (par.
        Parameters)[par.i + 1], par.A[par.i + 1], (par.koeff)[par.i + 1].c1, (par
        .koeff)[par.i + 1].c2, (par.koeff)[par.i + 1].g }, r, theta, vShift);
14     return (plus_one - 2*zero + minus_one) / (par.h * par.h);
15 }
16 double columb_pot(struct_for_Columb_pot&, double r, double theta, double vShift
    = 0)
17 {
18     return 1 / r;
19 }

```